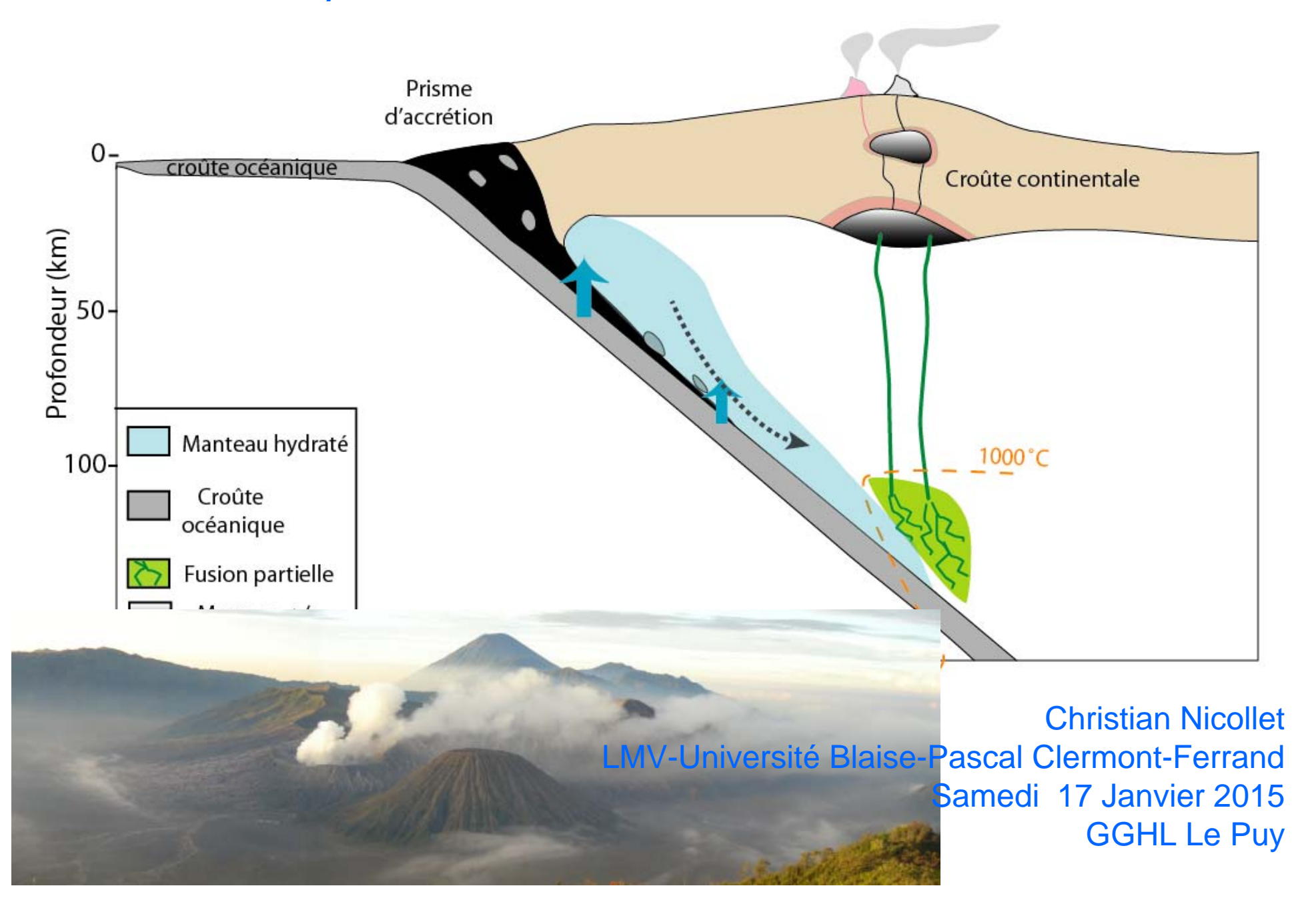
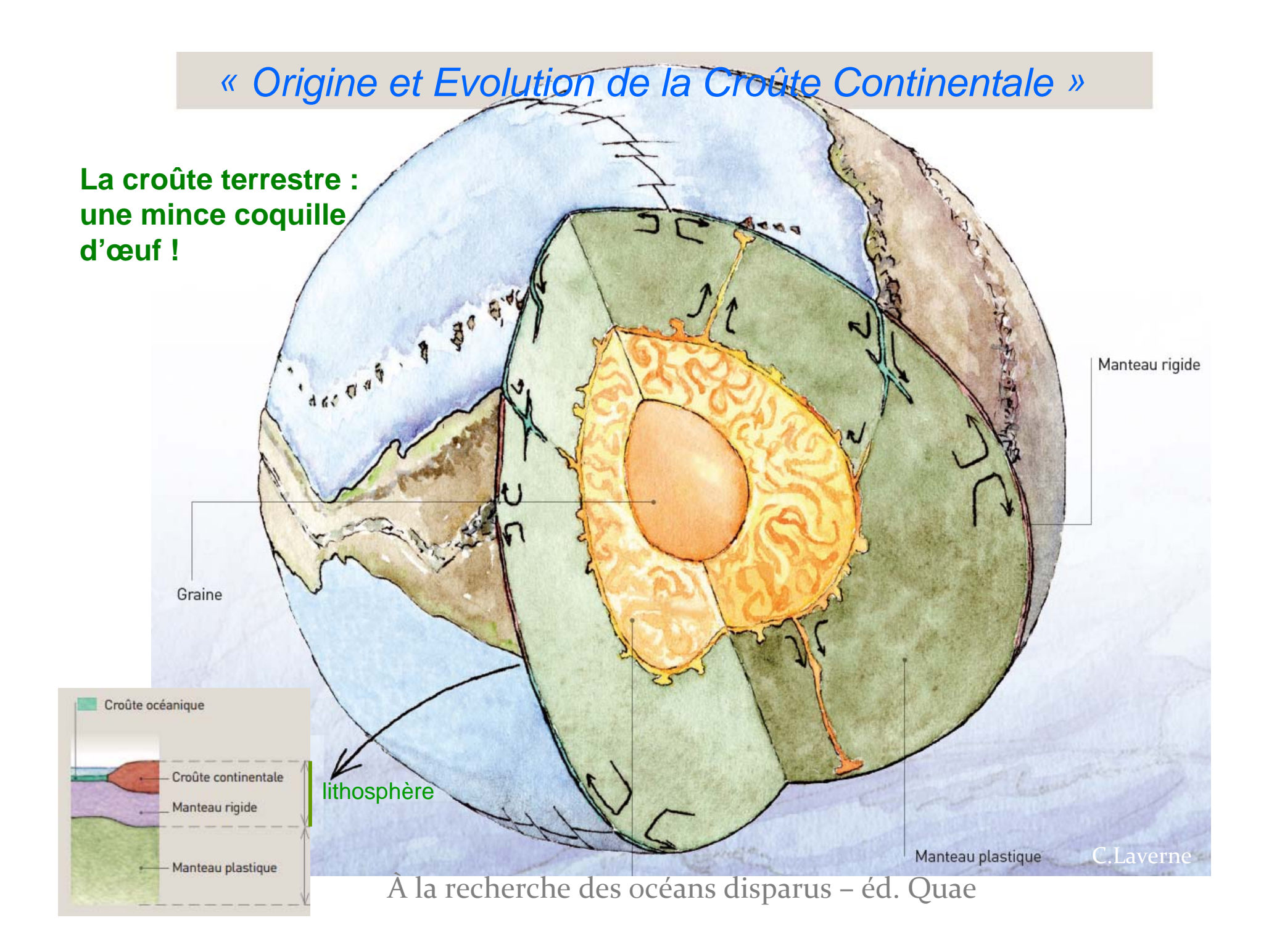
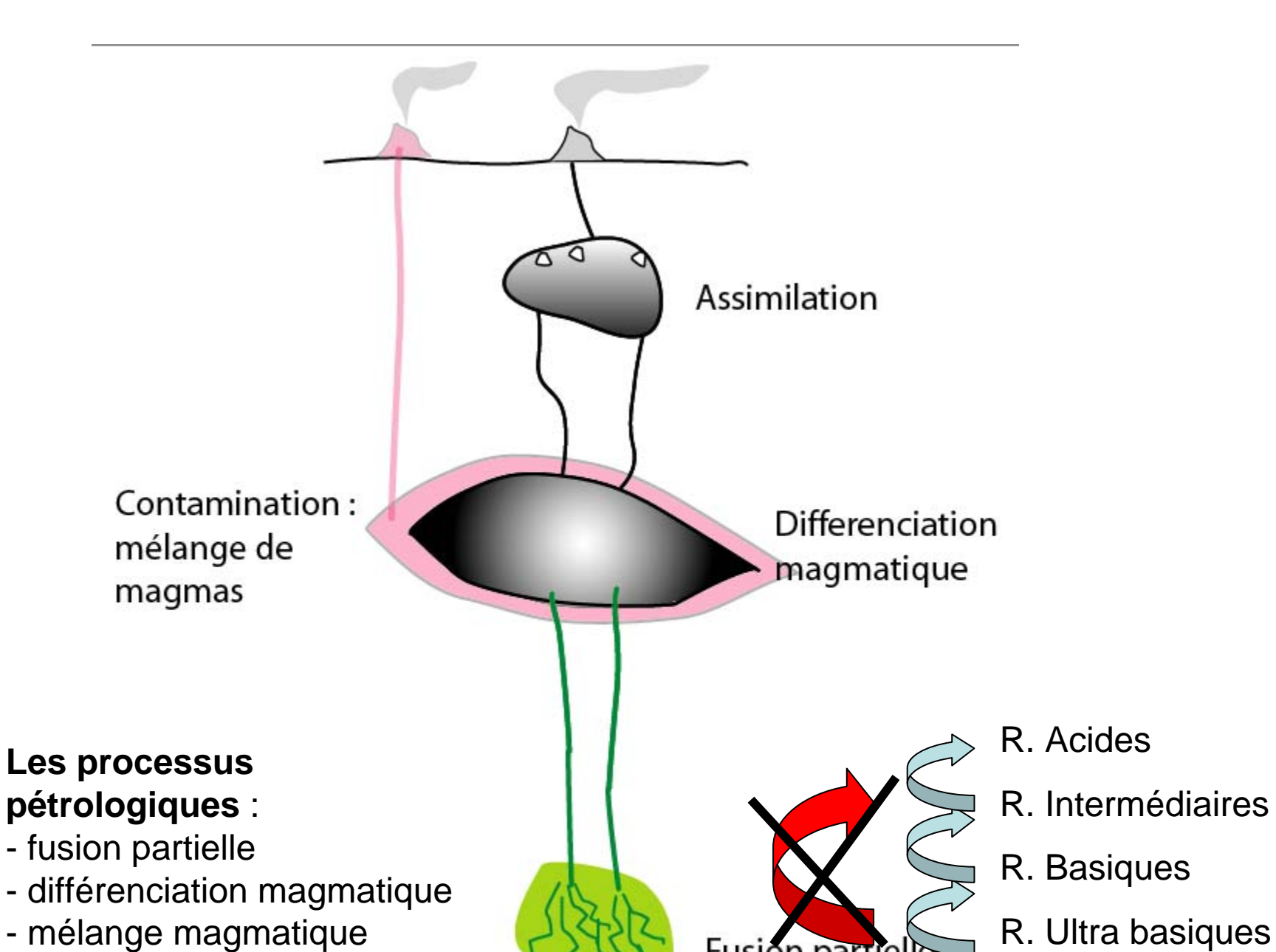
« Origine et Evolution de la Croûte Continentale »





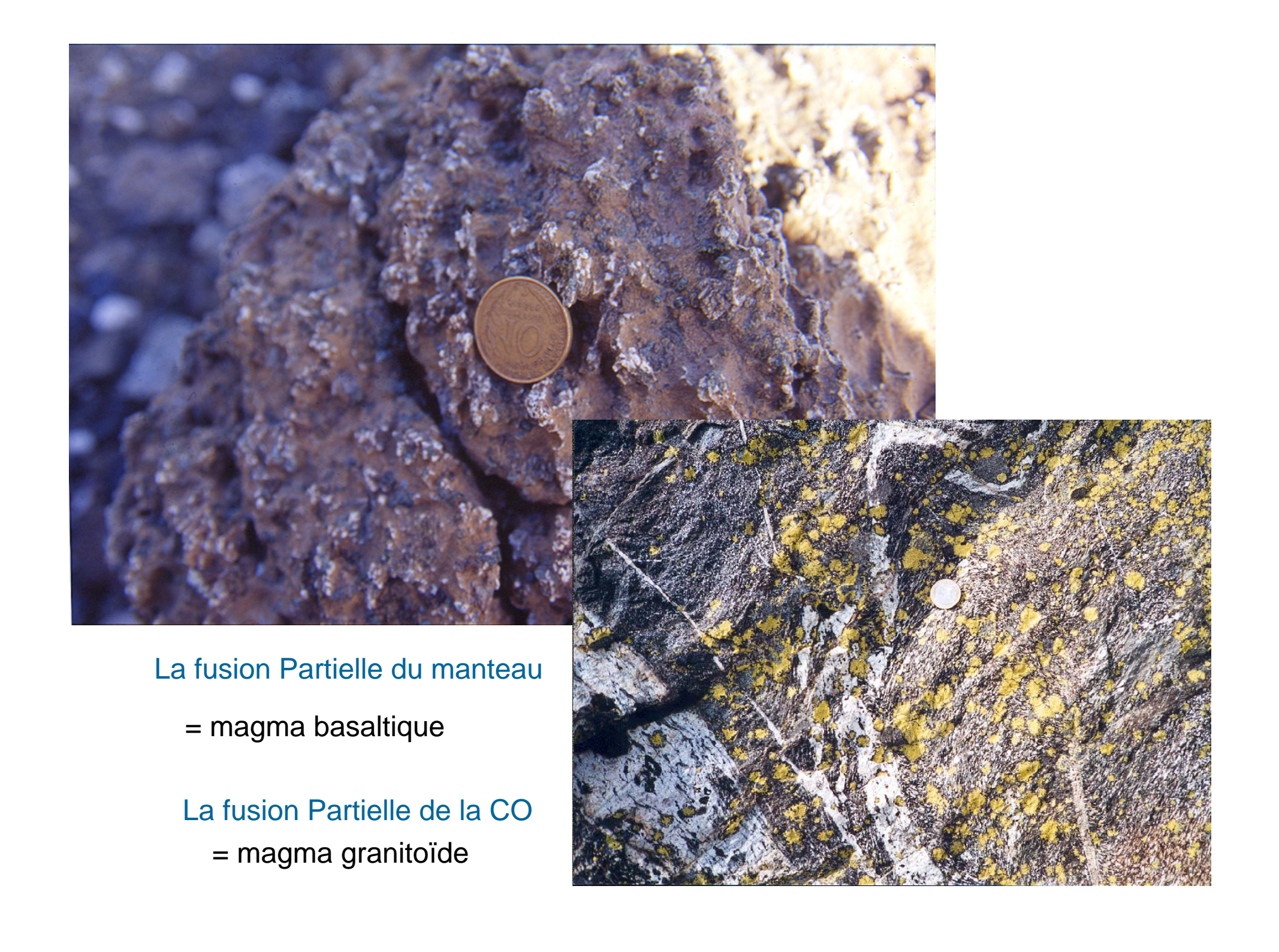




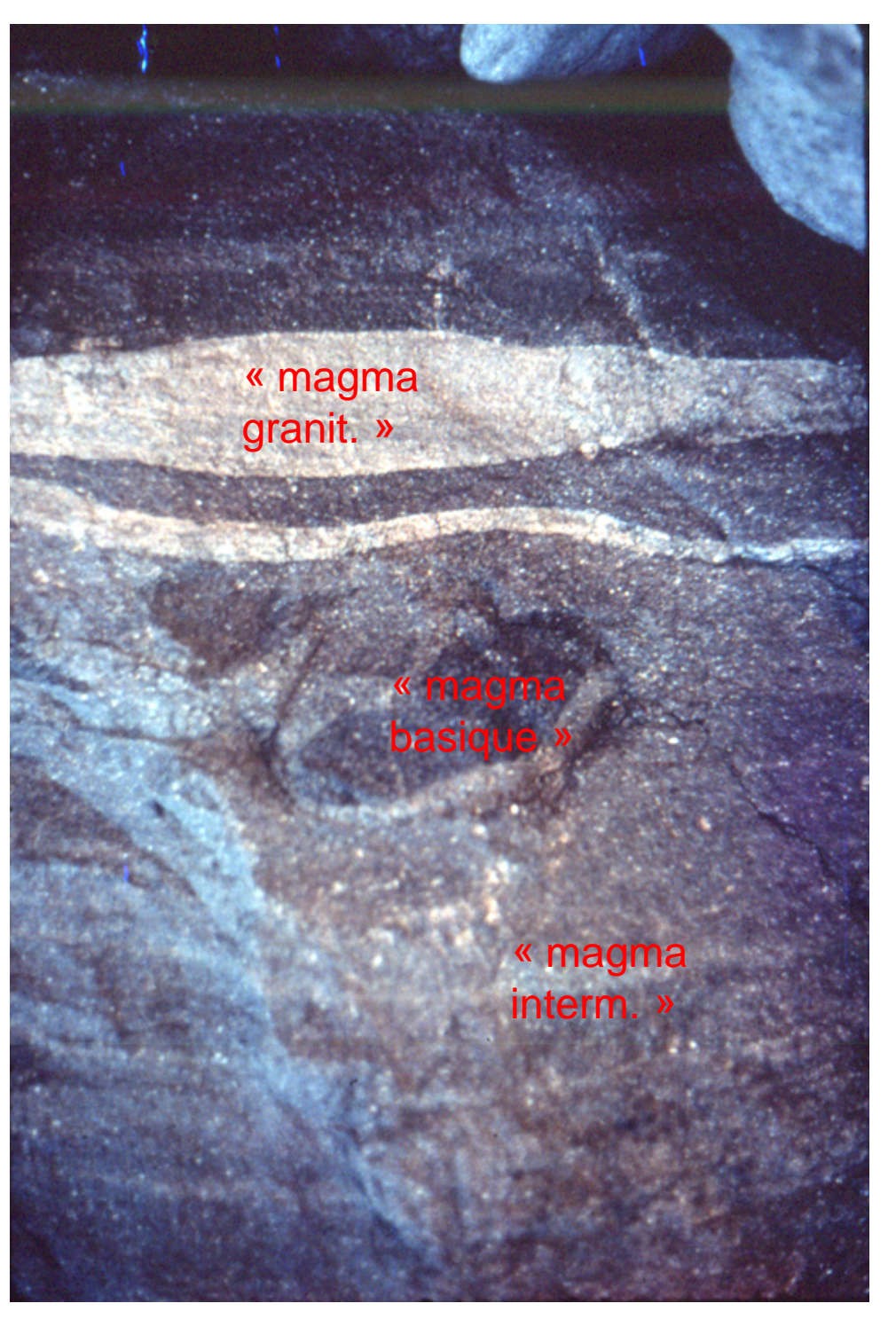
Fusion partielle

- mélange magmatique

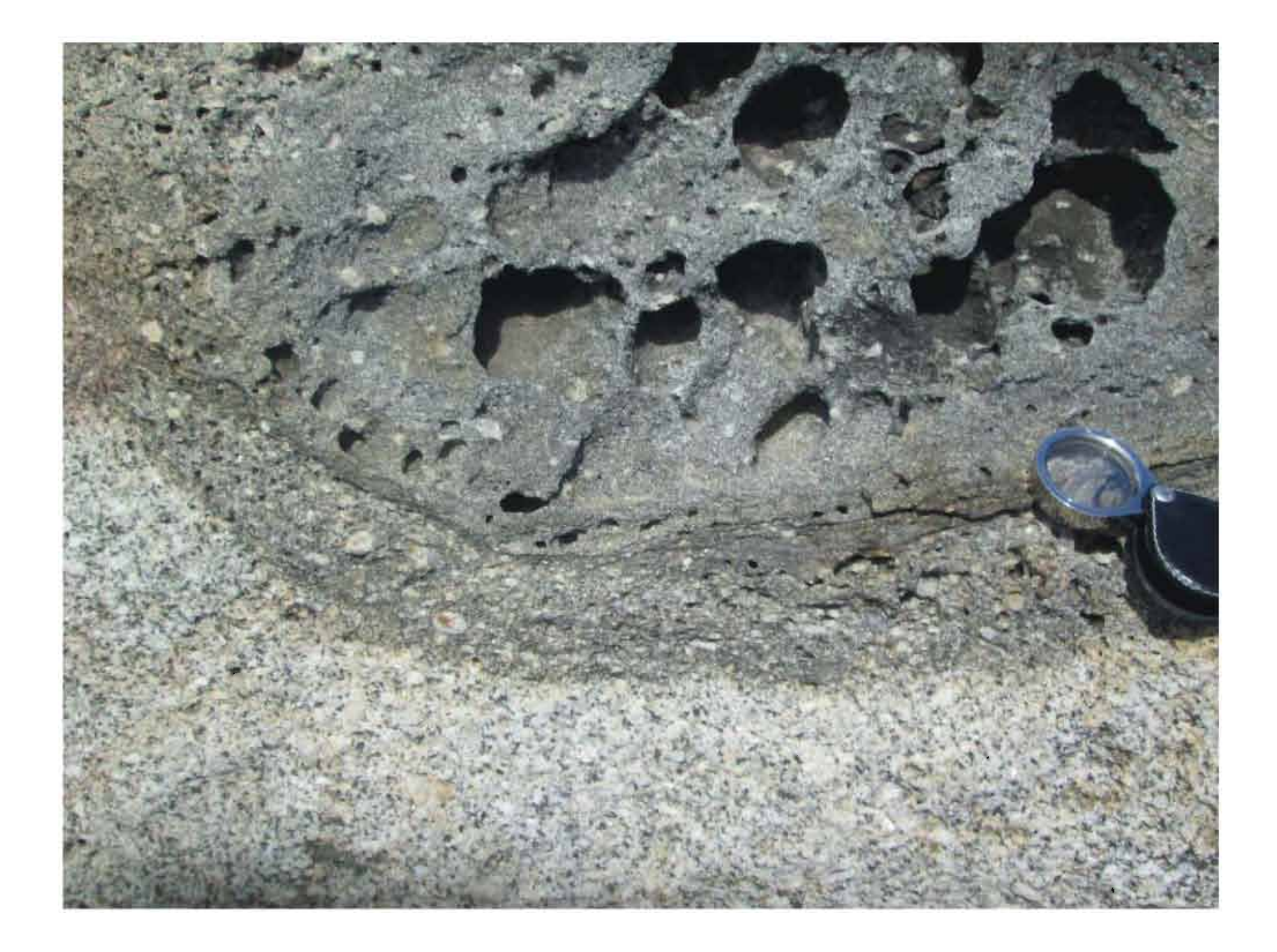
- assimilation.







Mélange magmatique





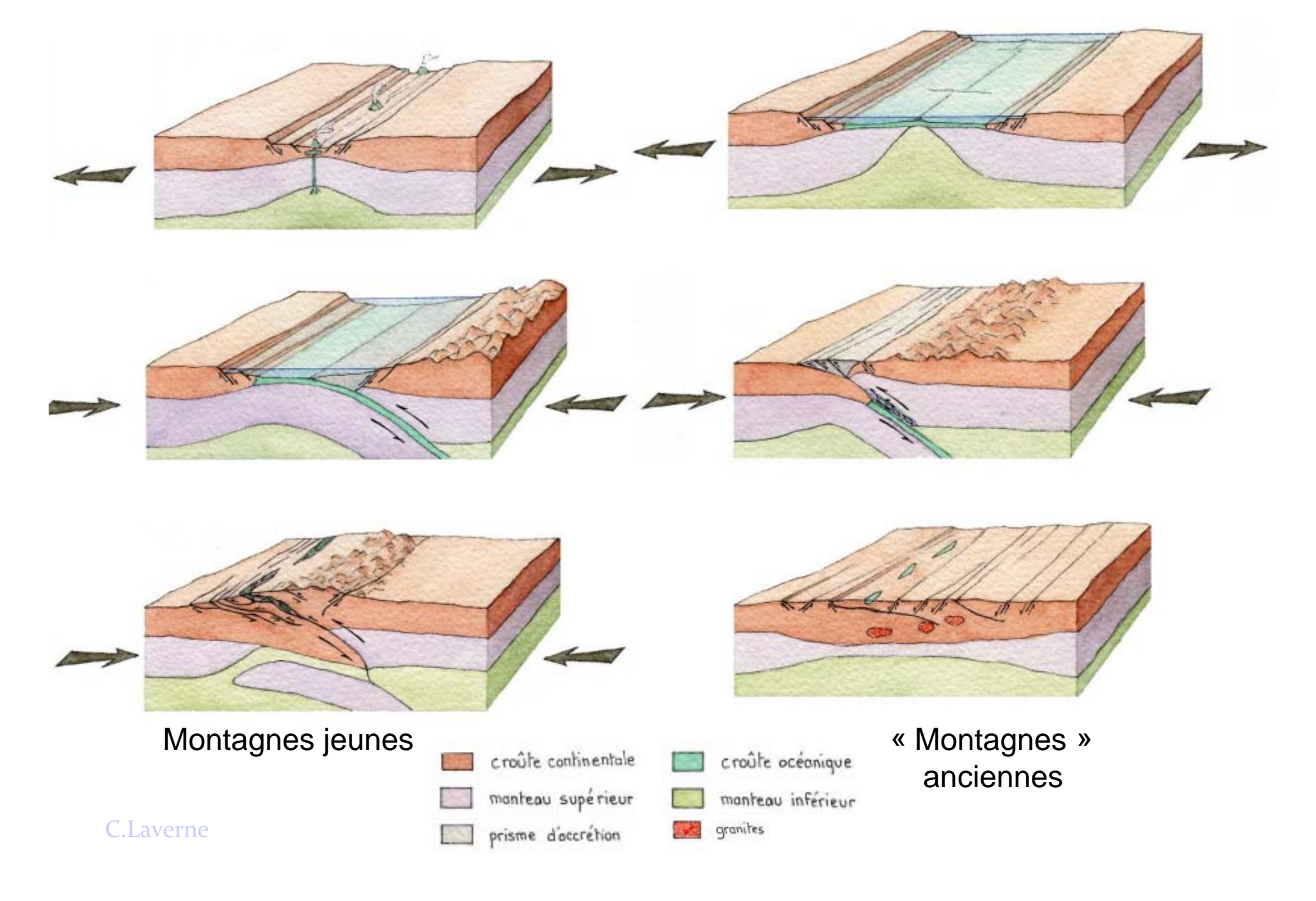
Assimilation

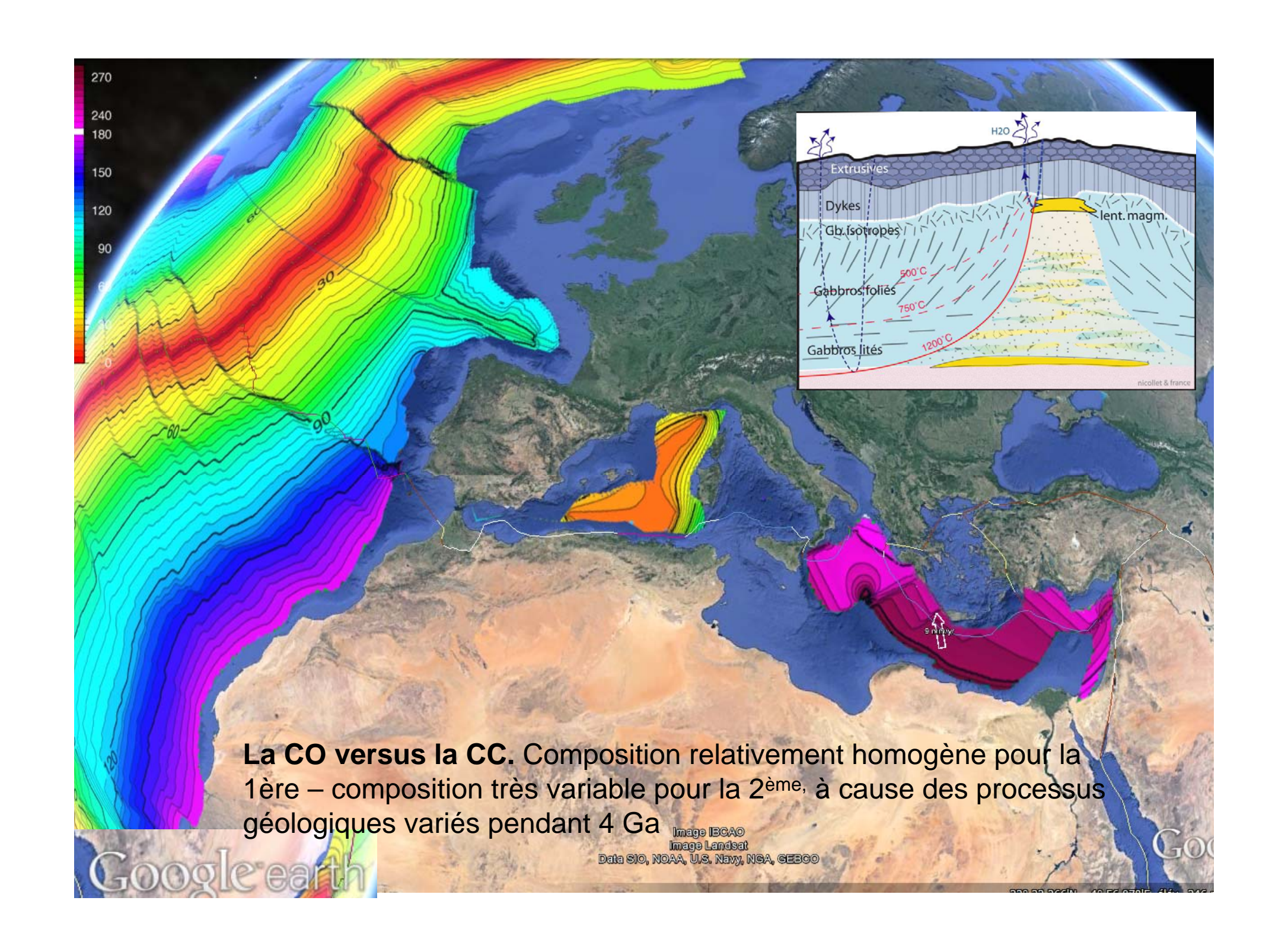
c.nicollet

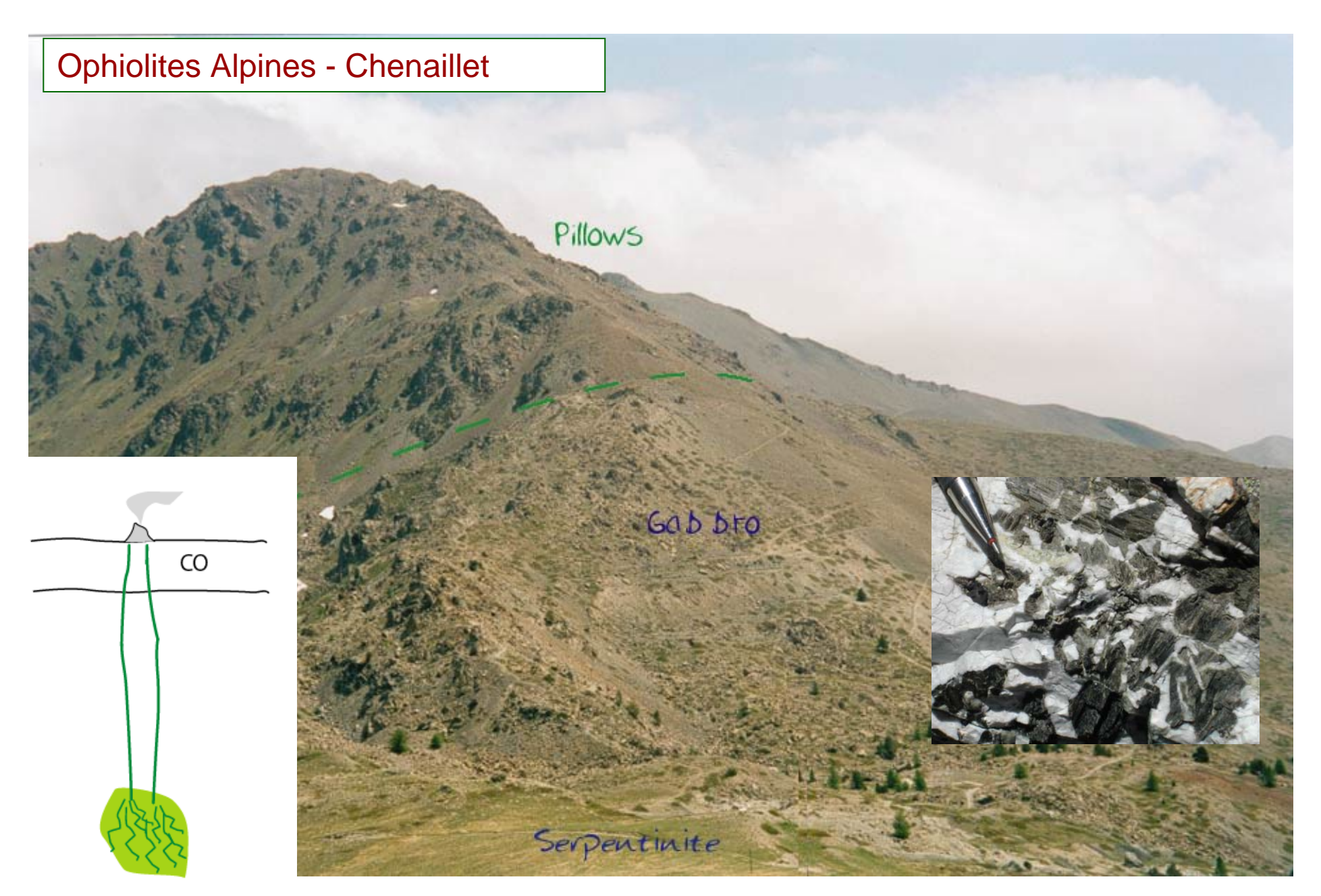
La CO versus la CC.

- CO: Composition relativement homogène, jeune
- CC : composition très variable, à cause des processus géologiques variés pendant 4 Ga

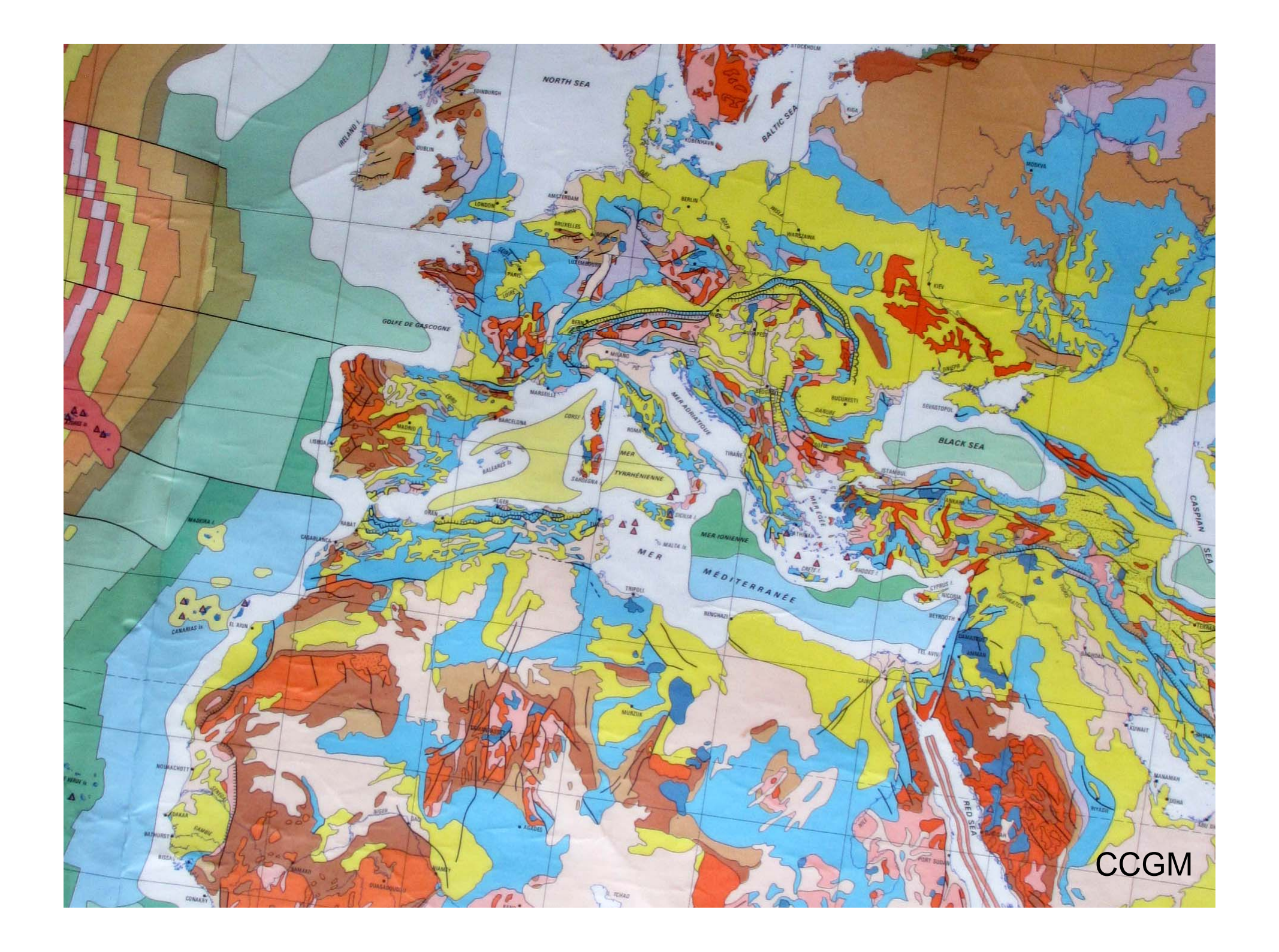
Le cycle de la lithosphère







Arête SO du Chenaillet



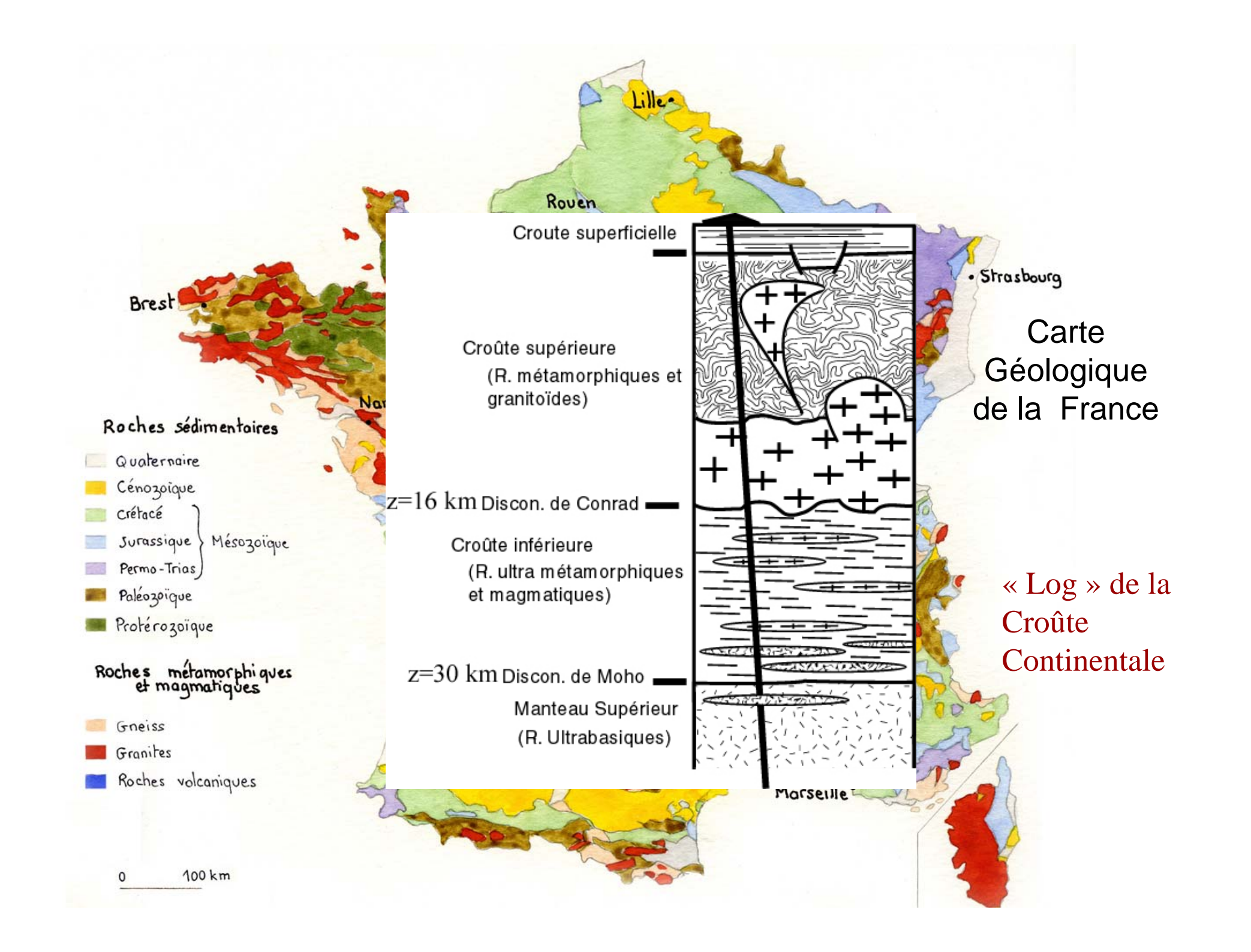


Tableau : Choix d'une composition chimique moyenne de la croute continentale et de quelques roches caractéristiques (moyennes) de celle-ci. Les TTG ou Gneiss gris

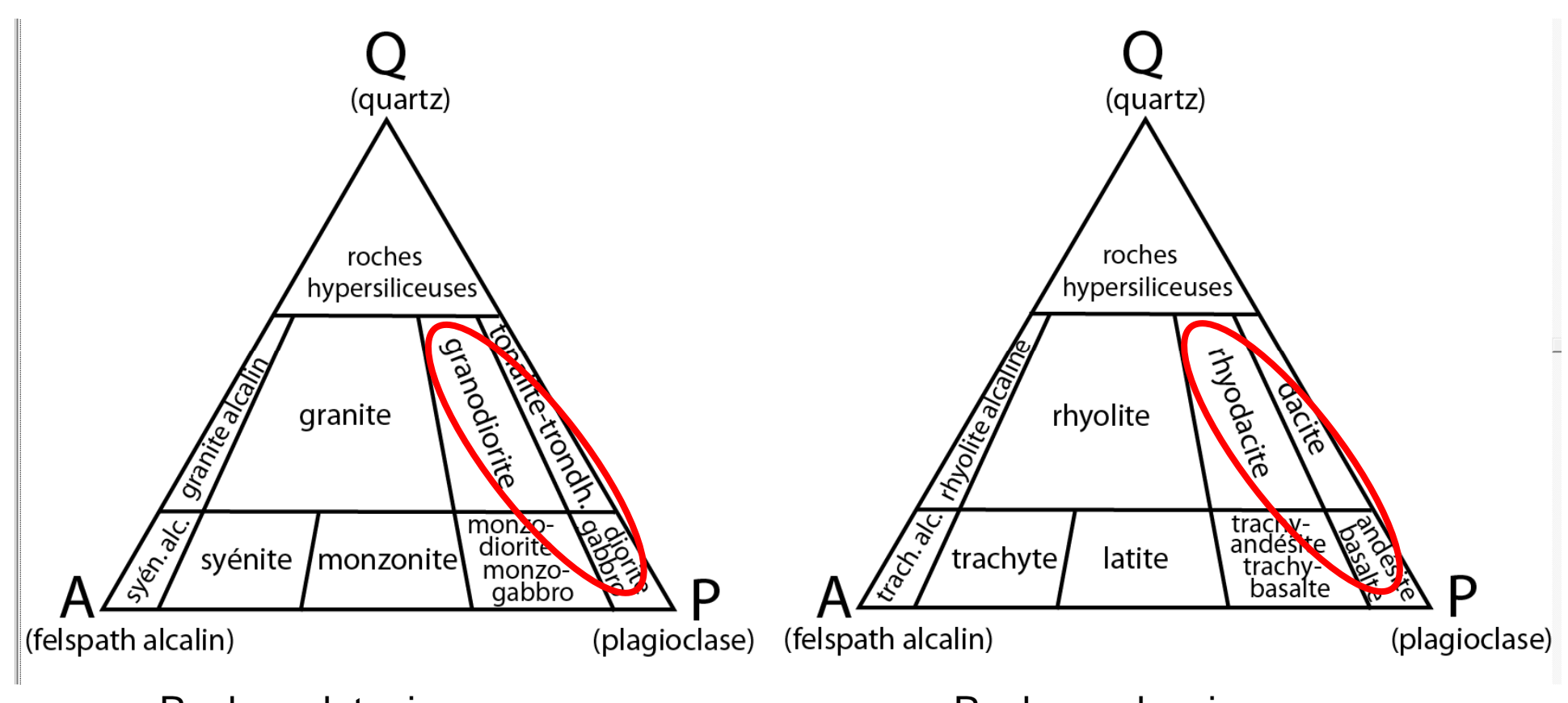
|--|

% poids	CC moyenne	Andésite	TTG	Granodiorite	Adakite
oxydes	,		Gneiss gris	***************************************	***************************************
SiO2	59.1	59.85	67.67	68.10	64.80
TiO2	0.7	0.54	0.44	0.54	0.56
A12O3	15.8	17.25	14.87	15.07	16.64
FeOt	6.6	6.84	3.58	4.36	4.75
MnO	0.11	0.14	0.07	0.09	0.08
MgO	4.4	3.02	1.86	1.55	2.18
CaO	6.4	6.89	3.35	3.06	4.63
Na2O	3.2	3.28	4.18	3.68	4.19
K2O	1.88	0.87	2.60	3.40	1.97
P2O5	0.2	0.14	0.16	0.15	0.20

_



Composition de TTG: tonalites, trondhjémites, granodiorites



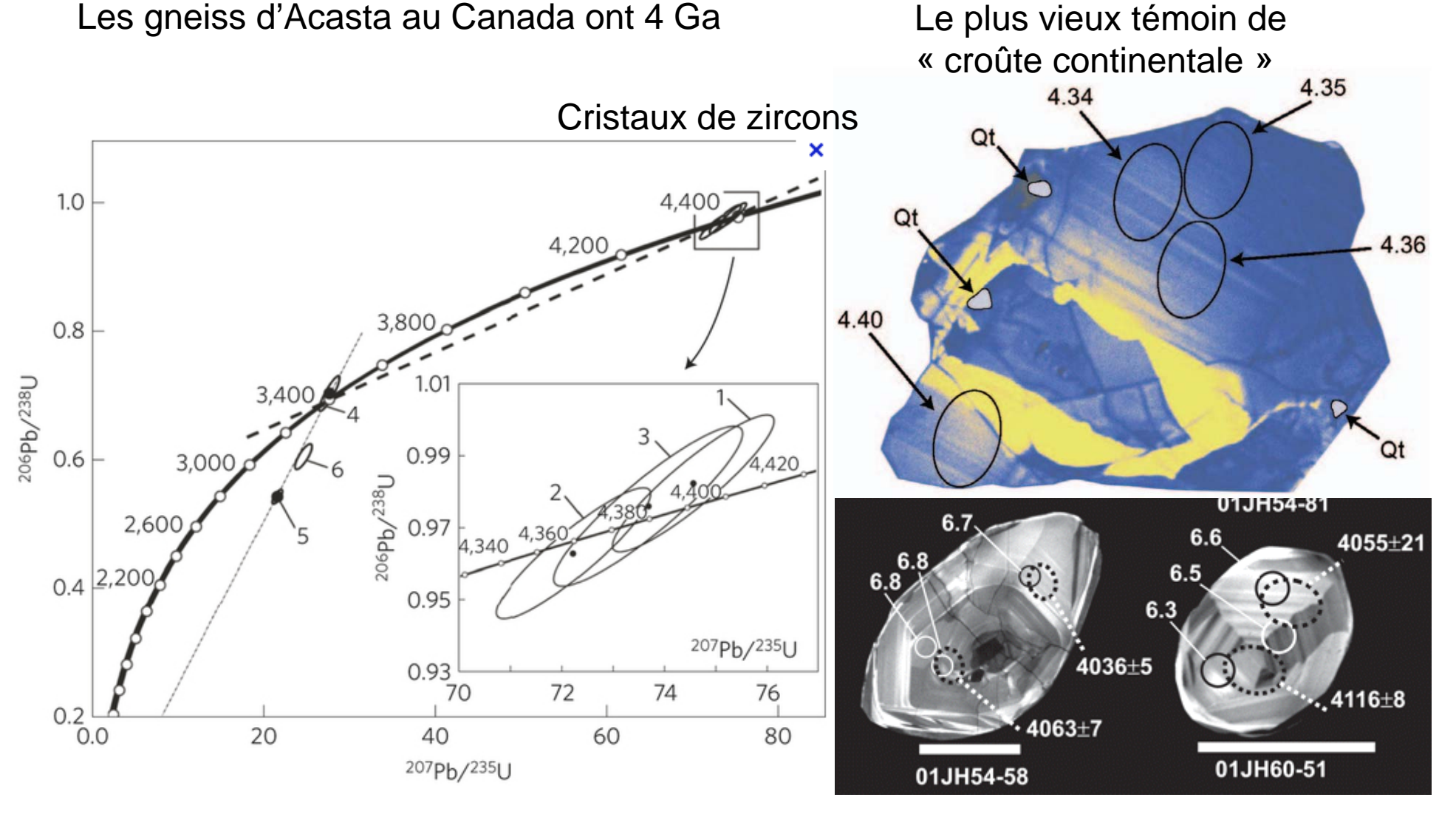
Roches plutoniques

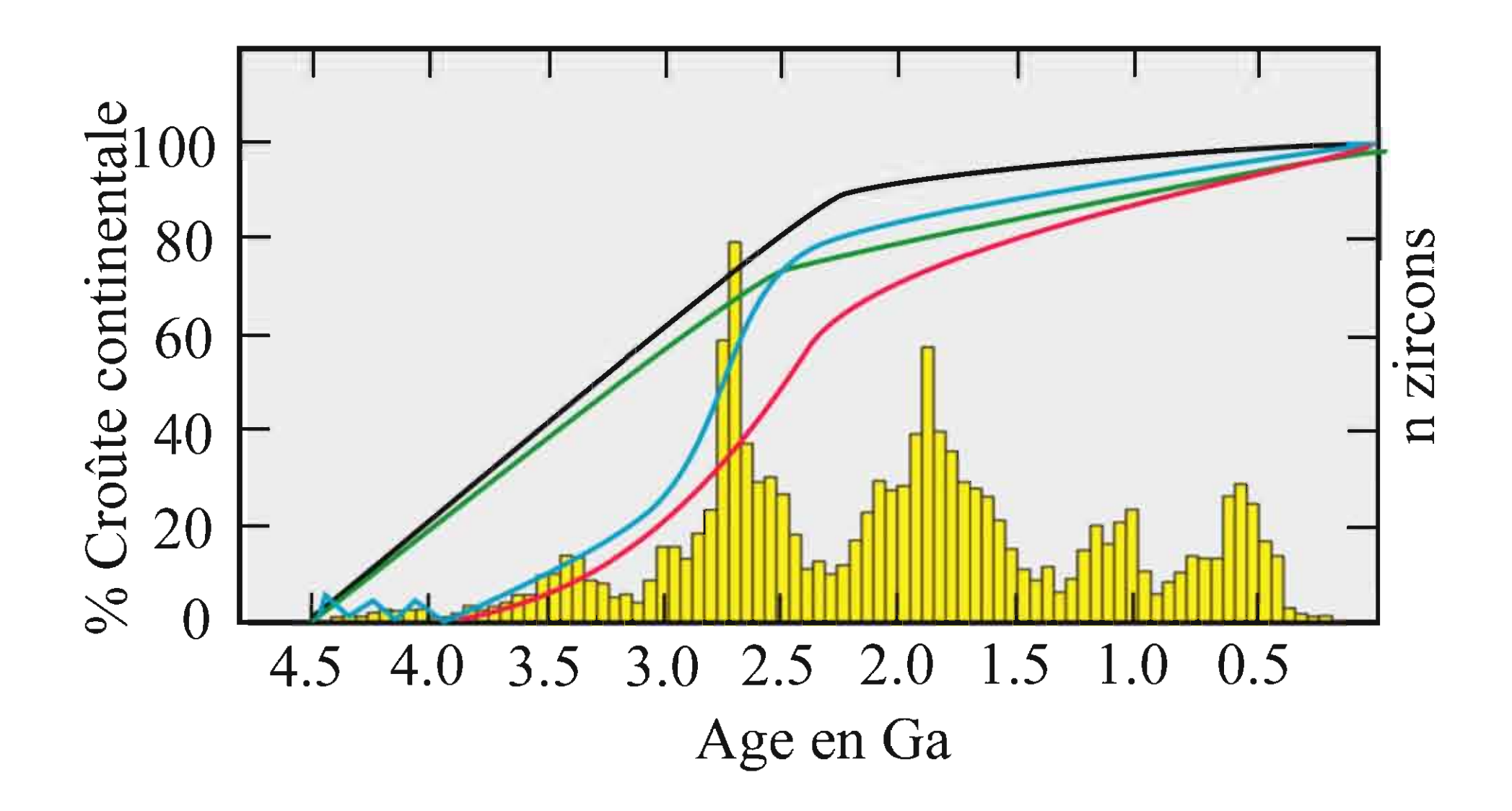
Roches volcaniques

La Classification des granitoïdes ; Streckeisen

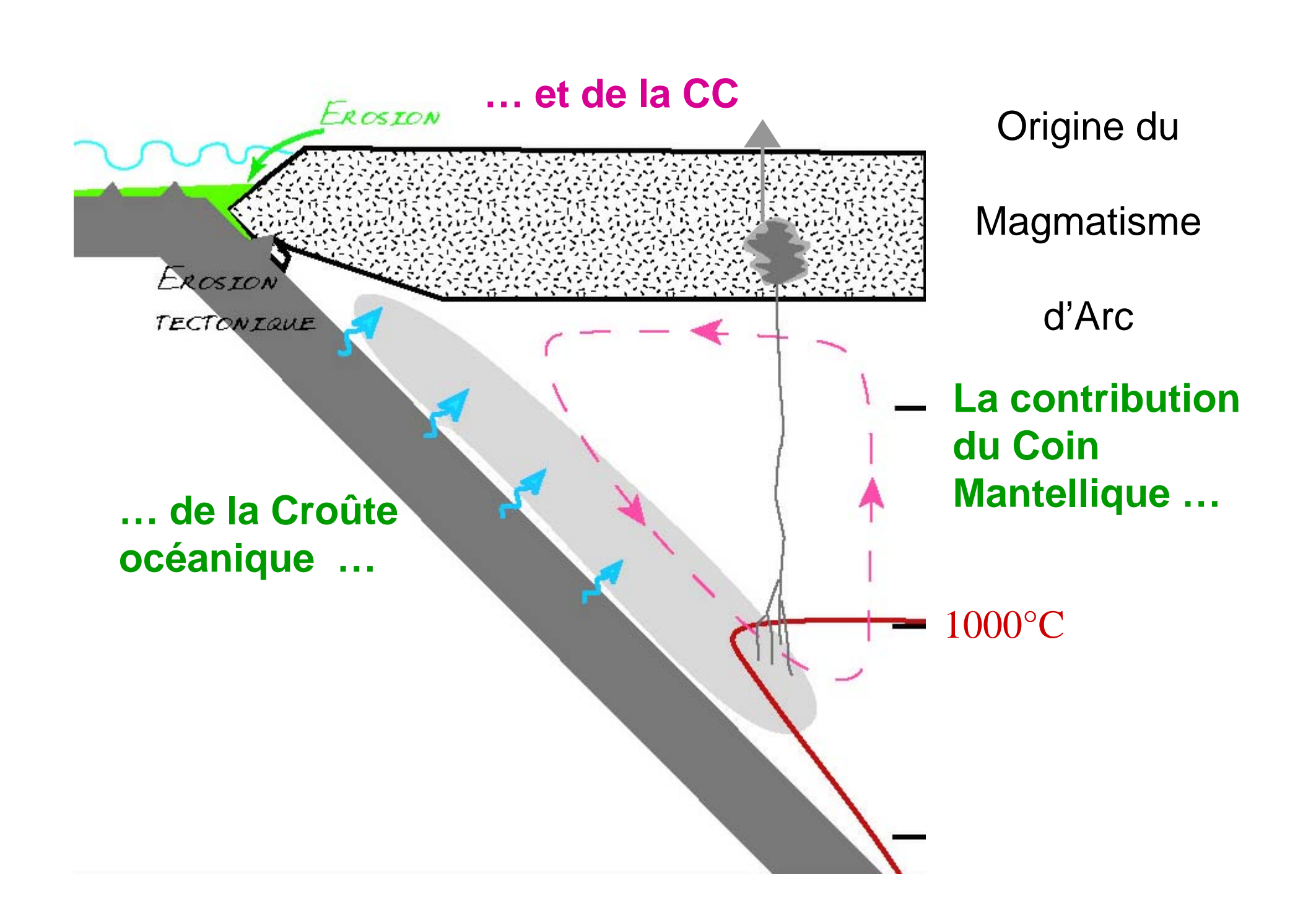
Quand s'est formée la croute continentale ?

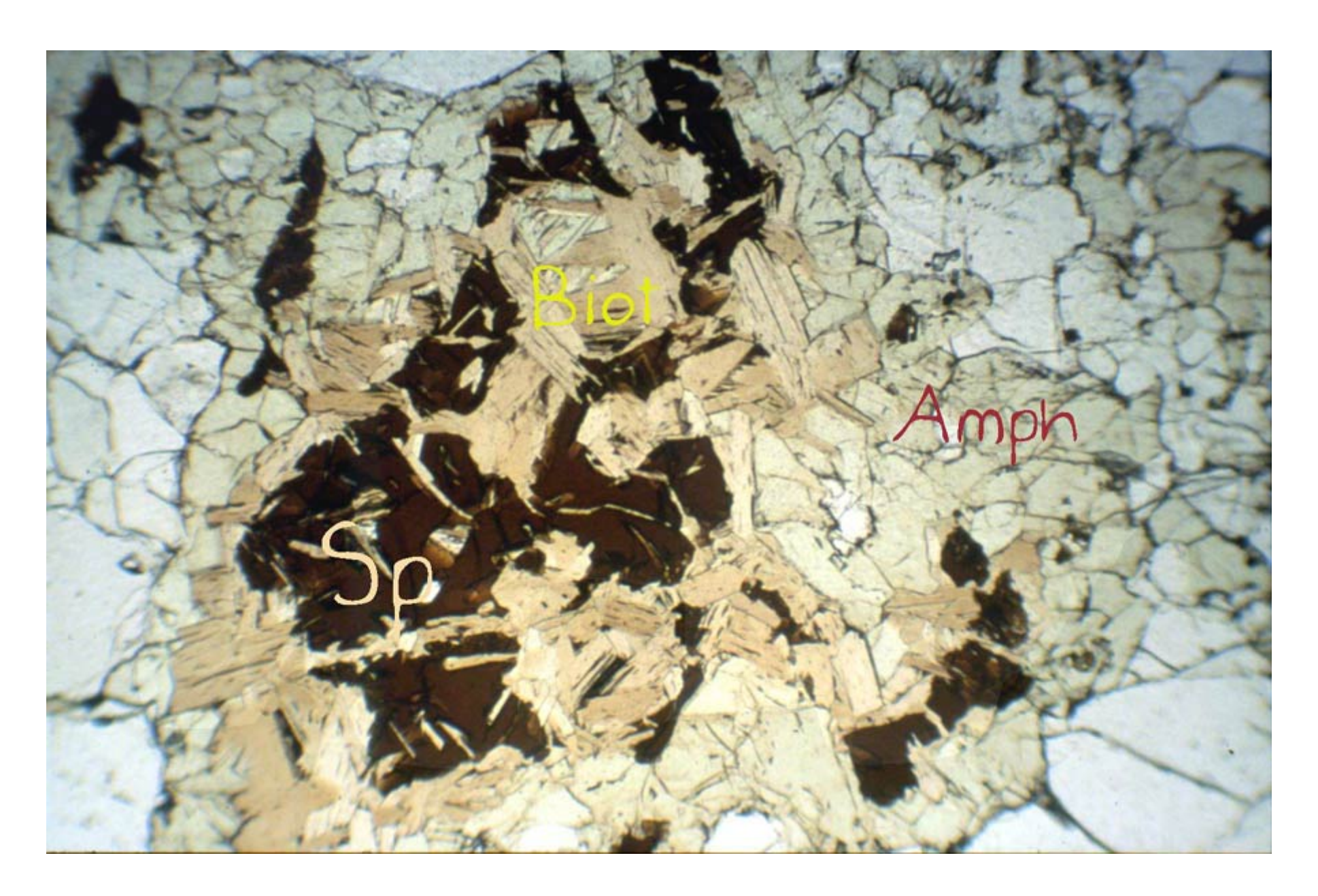
Les gneiss d'Acasta au Canada ont 4 Ga





Comment s'est formée la CC à l'Archéen ?



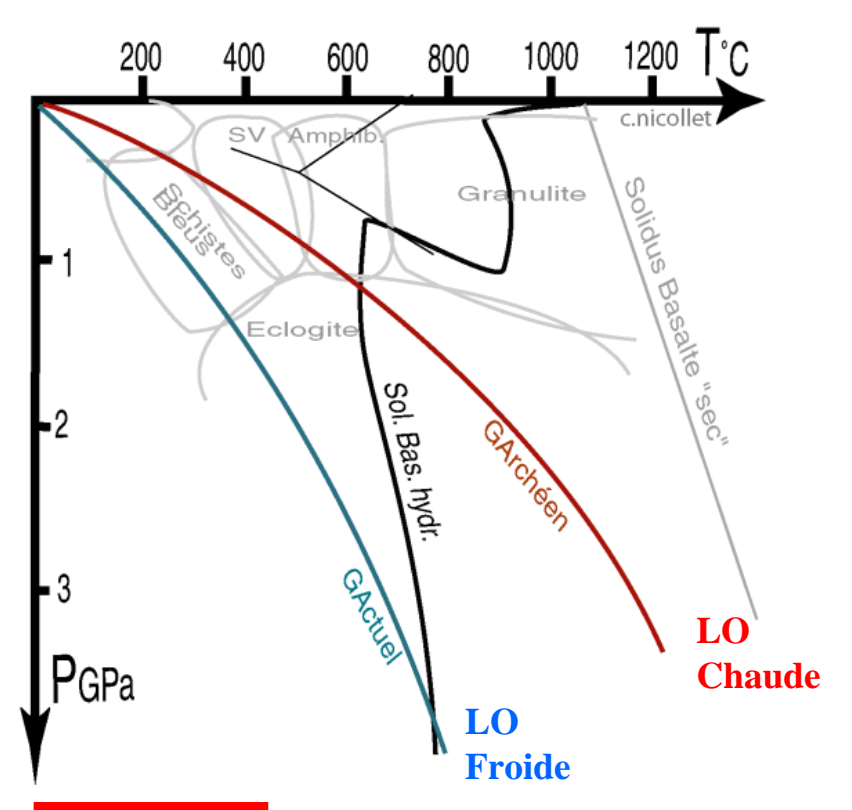


Le Manteau Métasomatisé

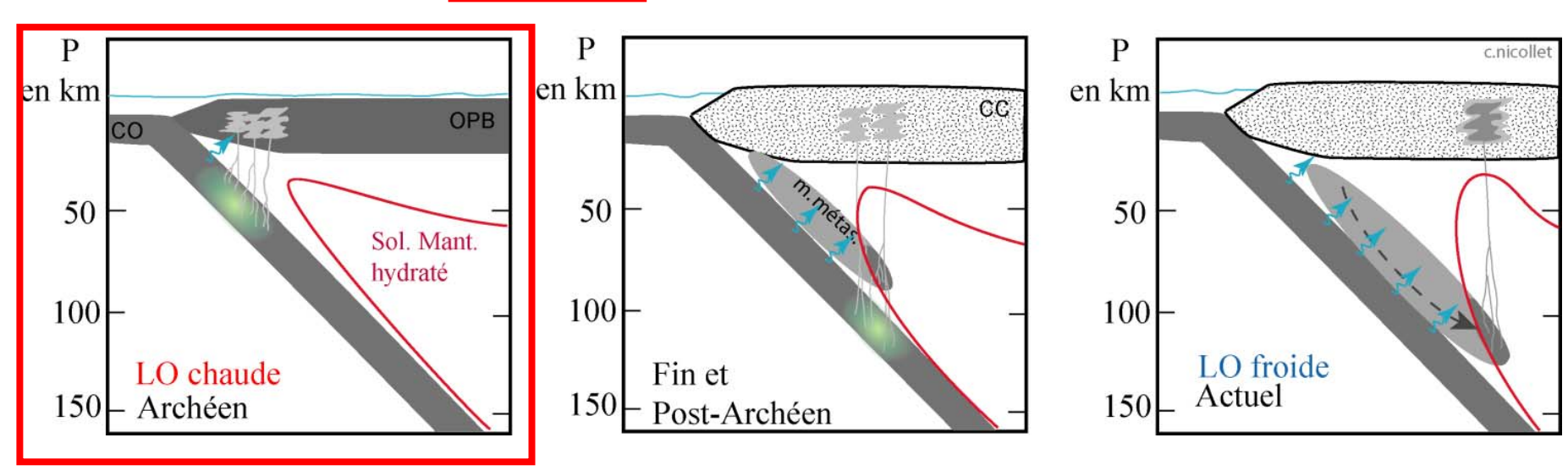
Ph. G. Chazot



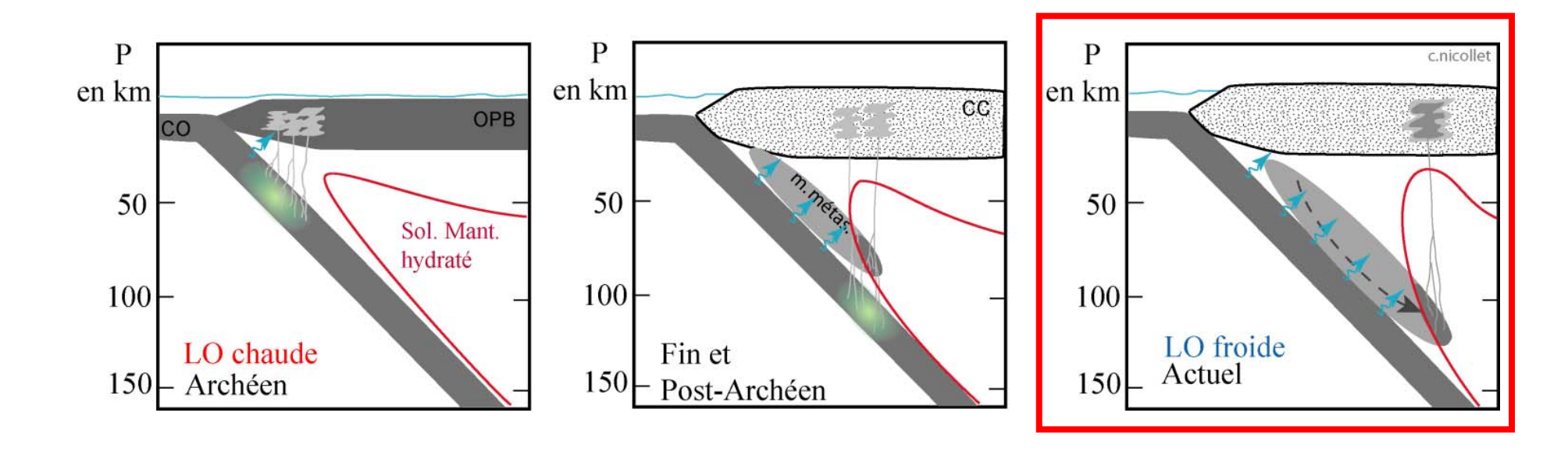
La fusion de la CO produit des adakites

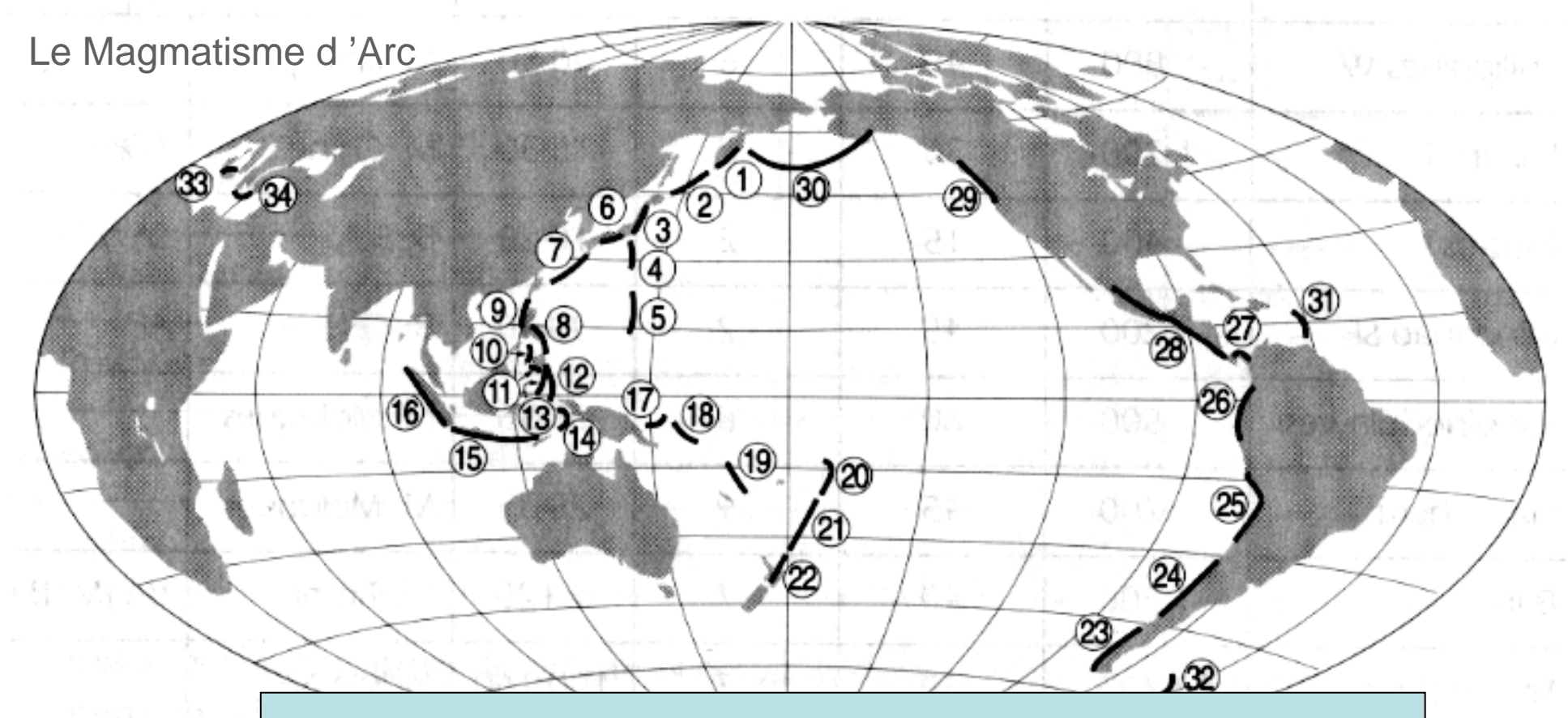


Genèse et Origine de la Croûte Continentale



Production actuelle de magma dans les zones de subduction :





A l'heure actuelle, les arcs magmatiques sont formés au niveau d'une subduction sous :

- une CO d'épaisseur normale,
- une CO épaisse et
- la CC

S'y fabrique t'il de la CC (de composition granodioritique /andésitique) ?

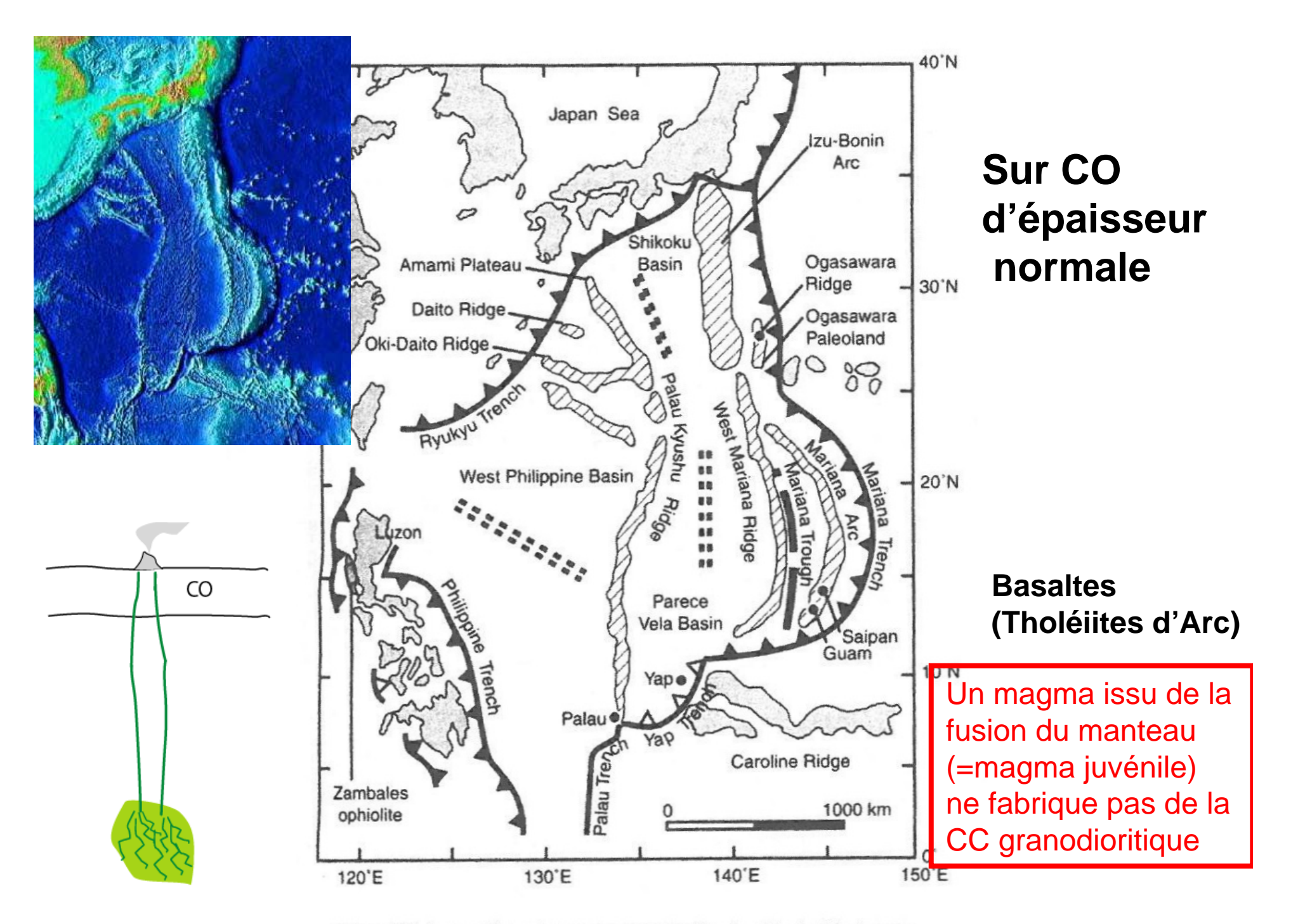


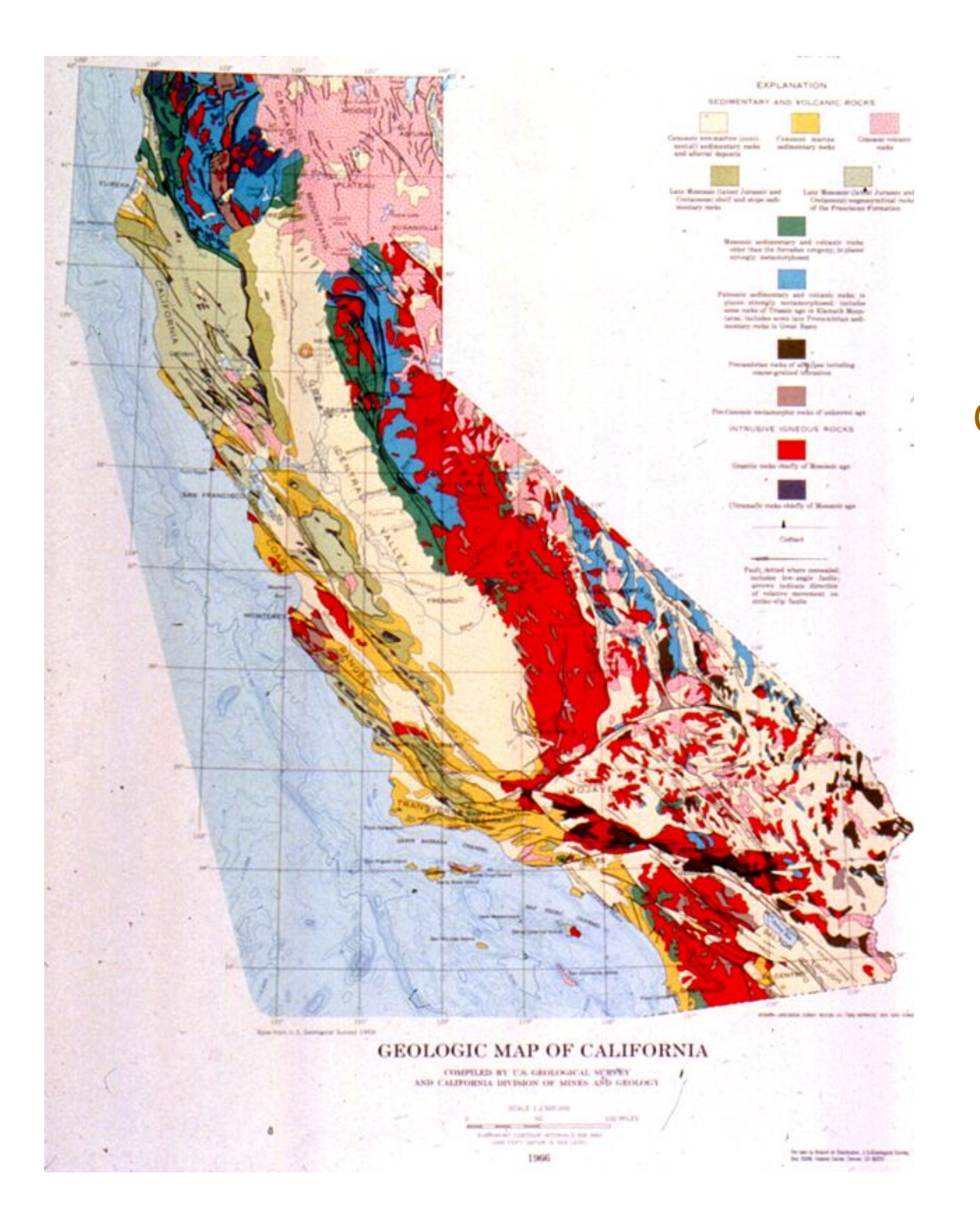
Figure 6.5. Le système de subduction des îles Izu-Bonin-Mariannes.



Sur la Croûte Continentale

Volcan andésitique

Sabancaya - Sud Pérou

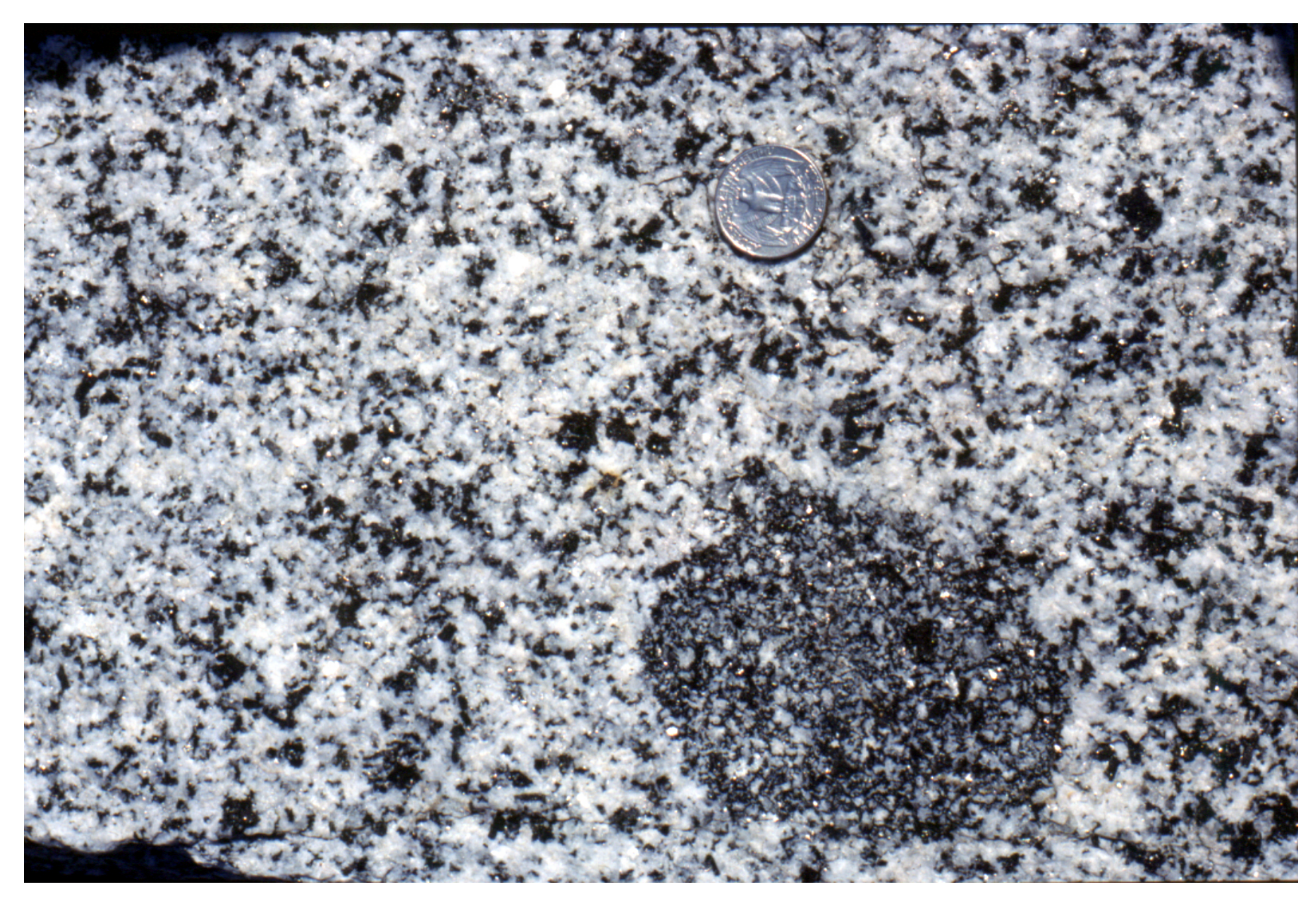


Carte Géologique de la Sierra Nevada, USA

En rouge, les batholites granodioritiques

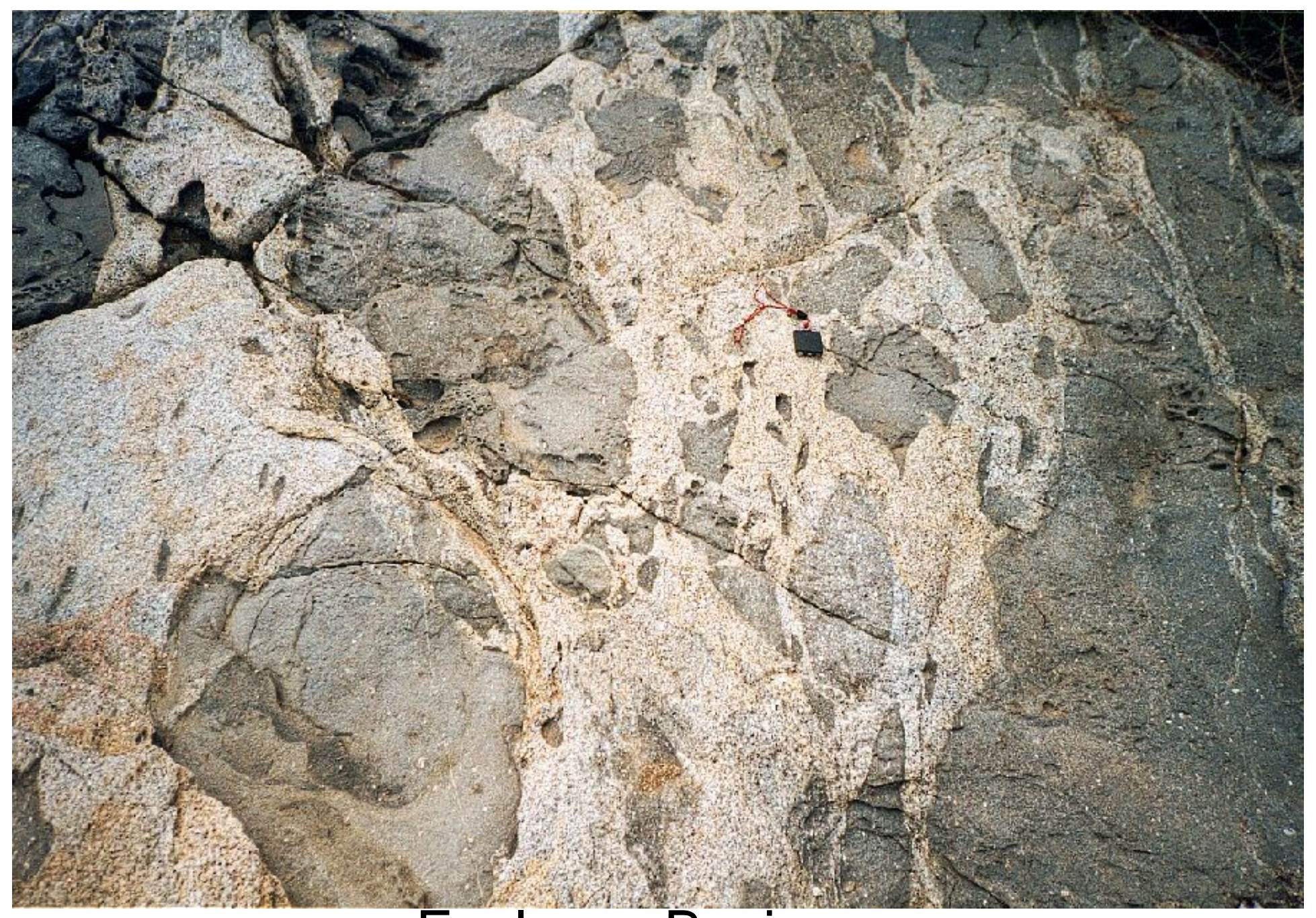


Batholites de Granodiorites - Sierra Nevada, USA

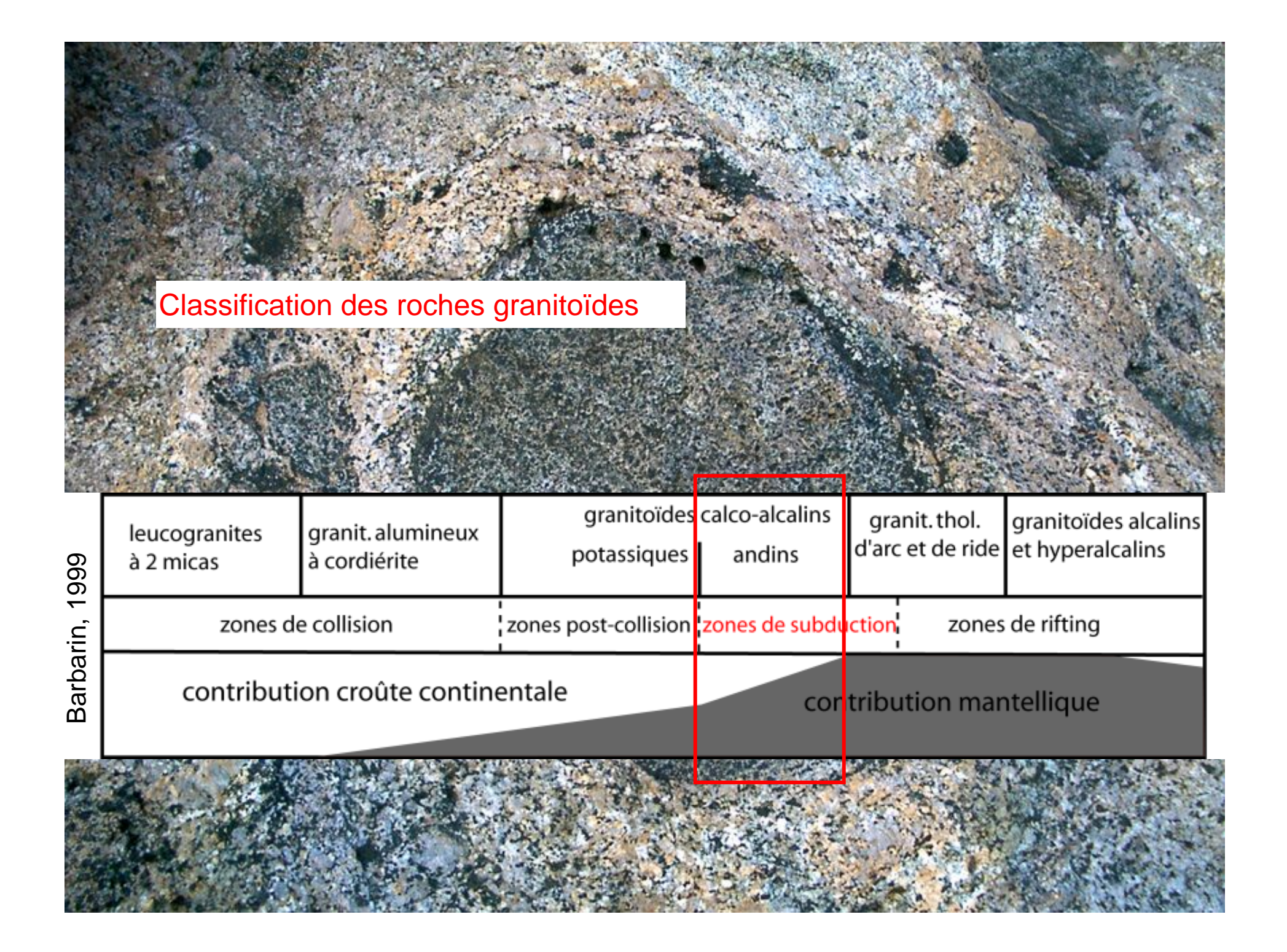


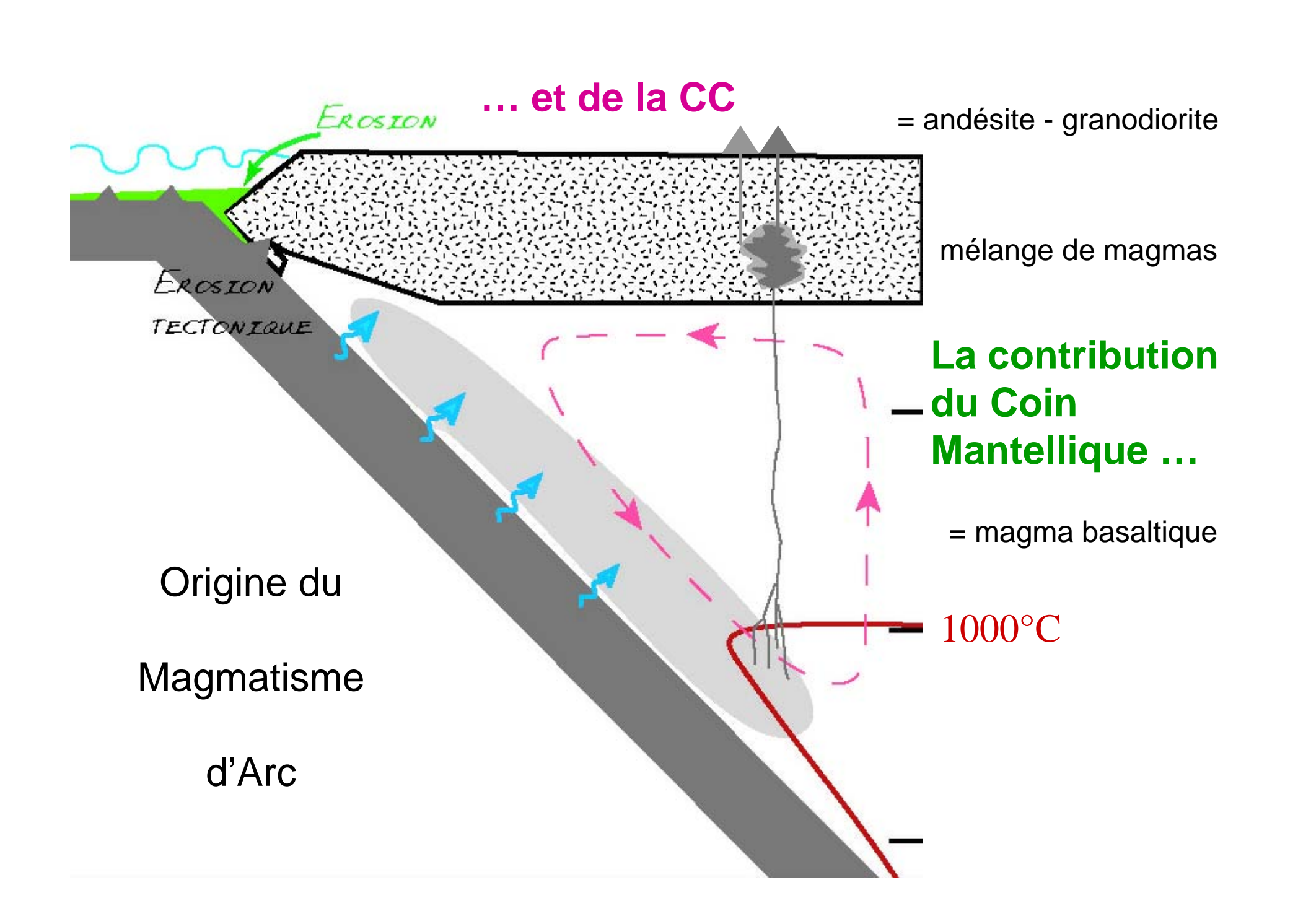
Granodiorite et enclave Basique - Sierra Nevada, USA

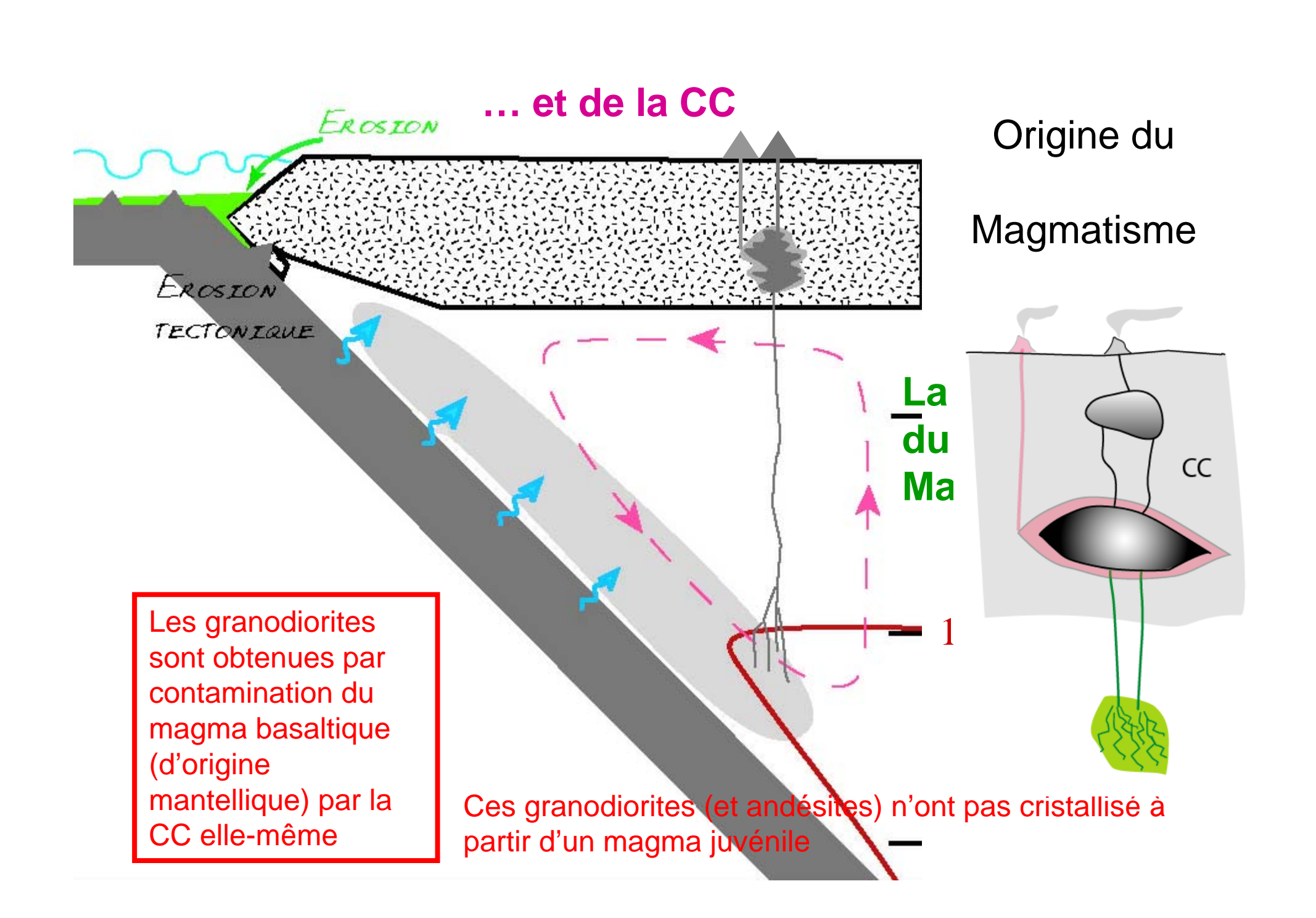
Ph. B. Barbarin

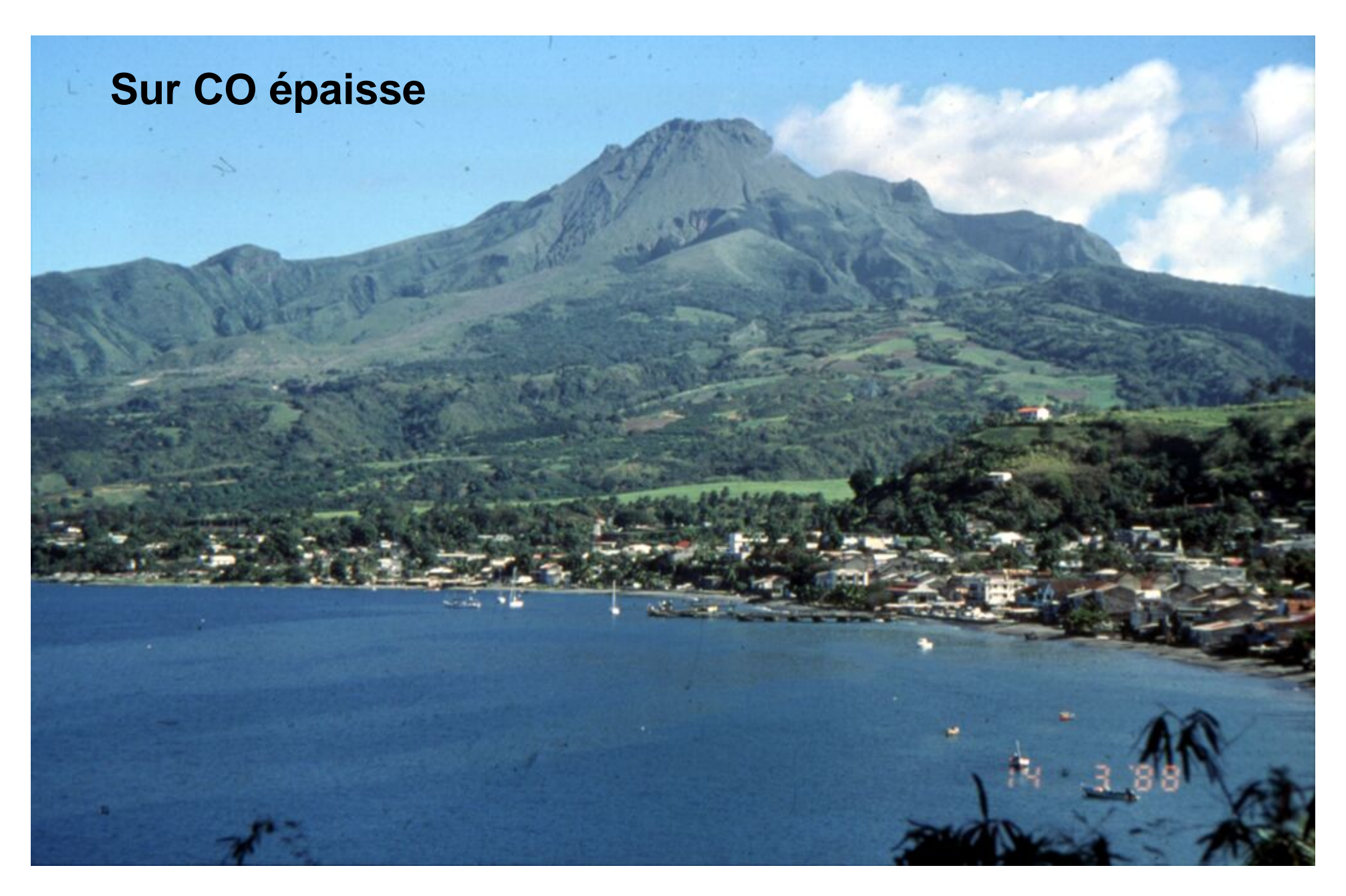


Enclaves Basiques





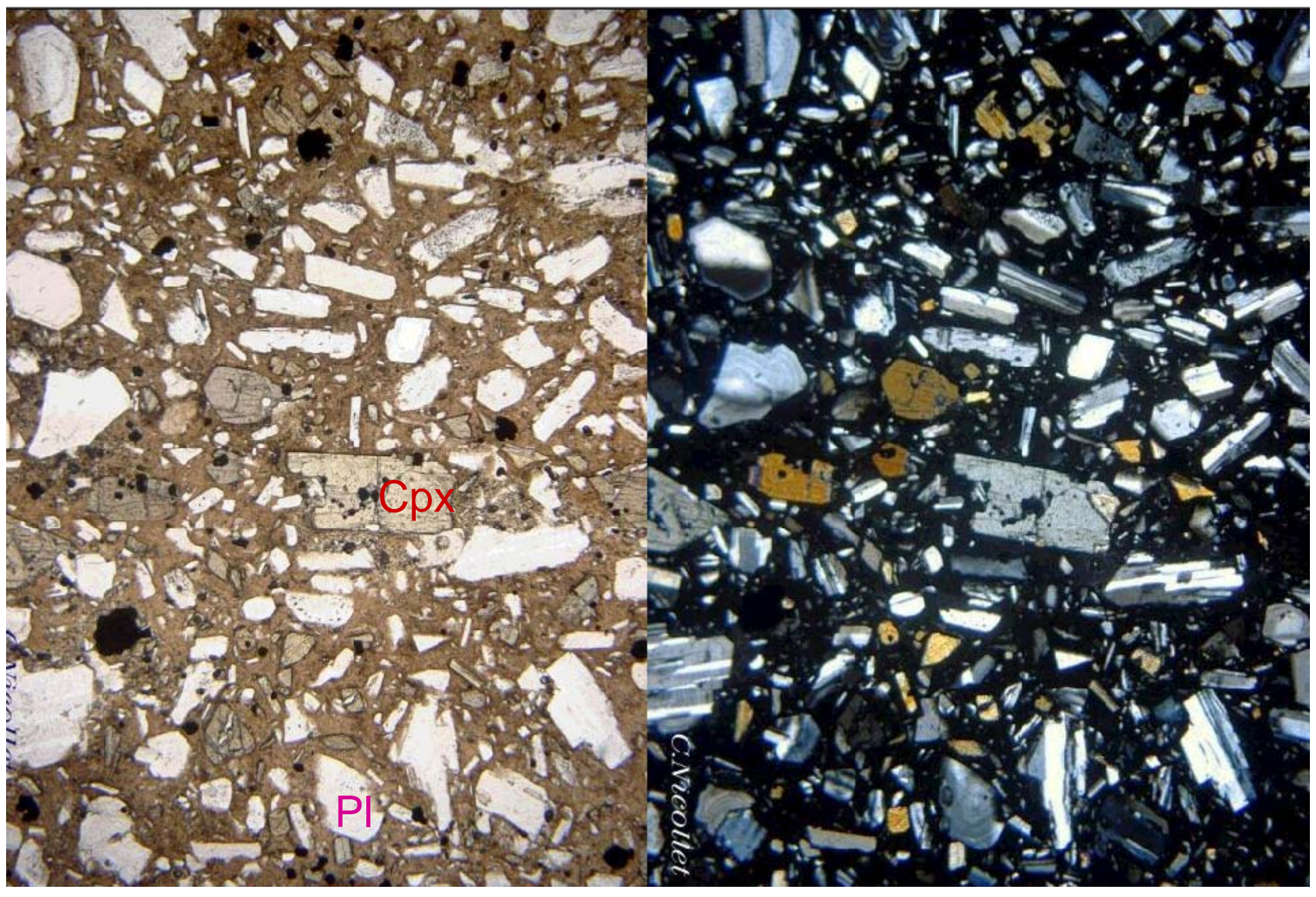




La Montagne Pelée à la Martinique



Andésite - Montagne Pelée, Martinique



LPNA Andésite au microscope LPA

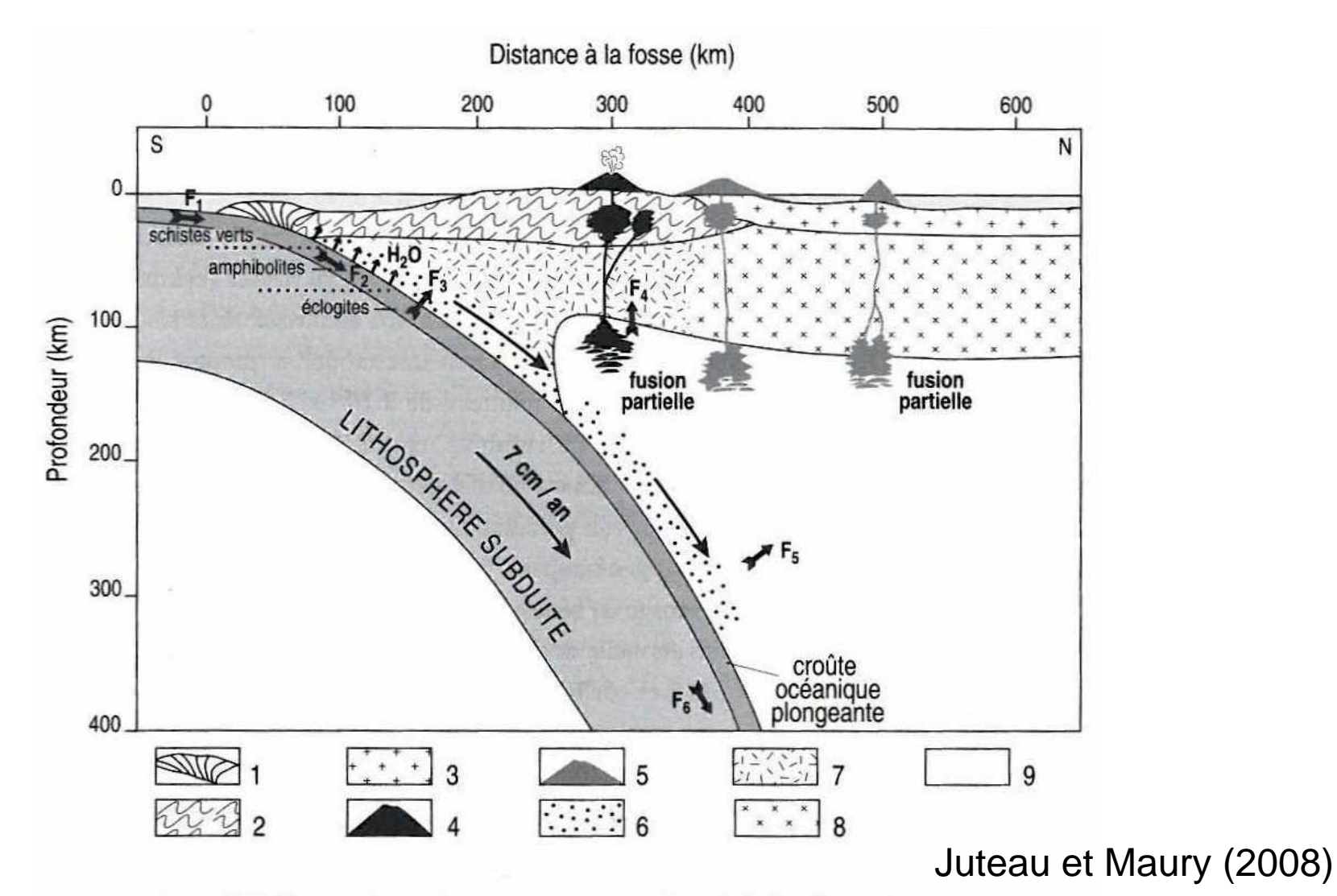
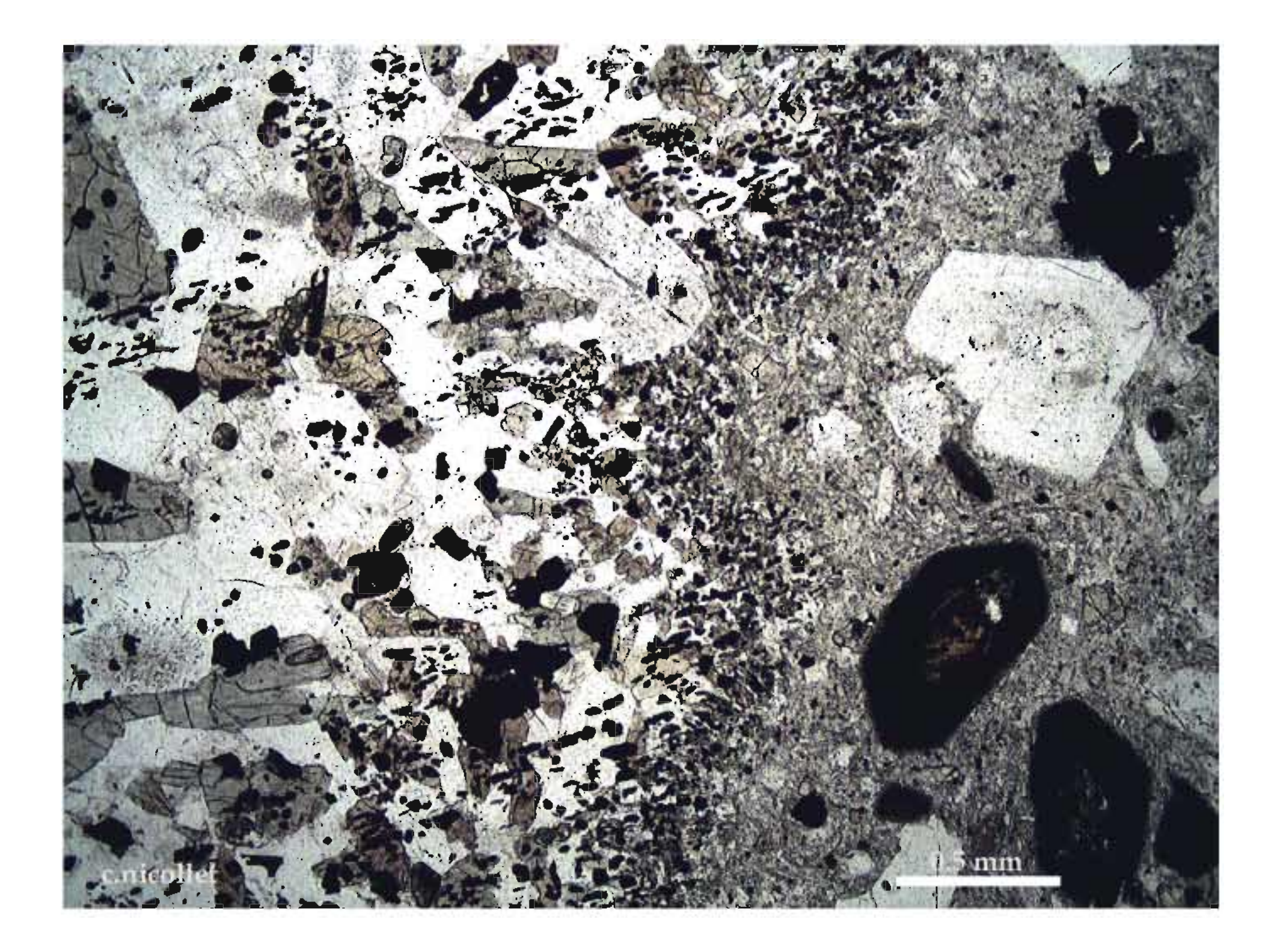
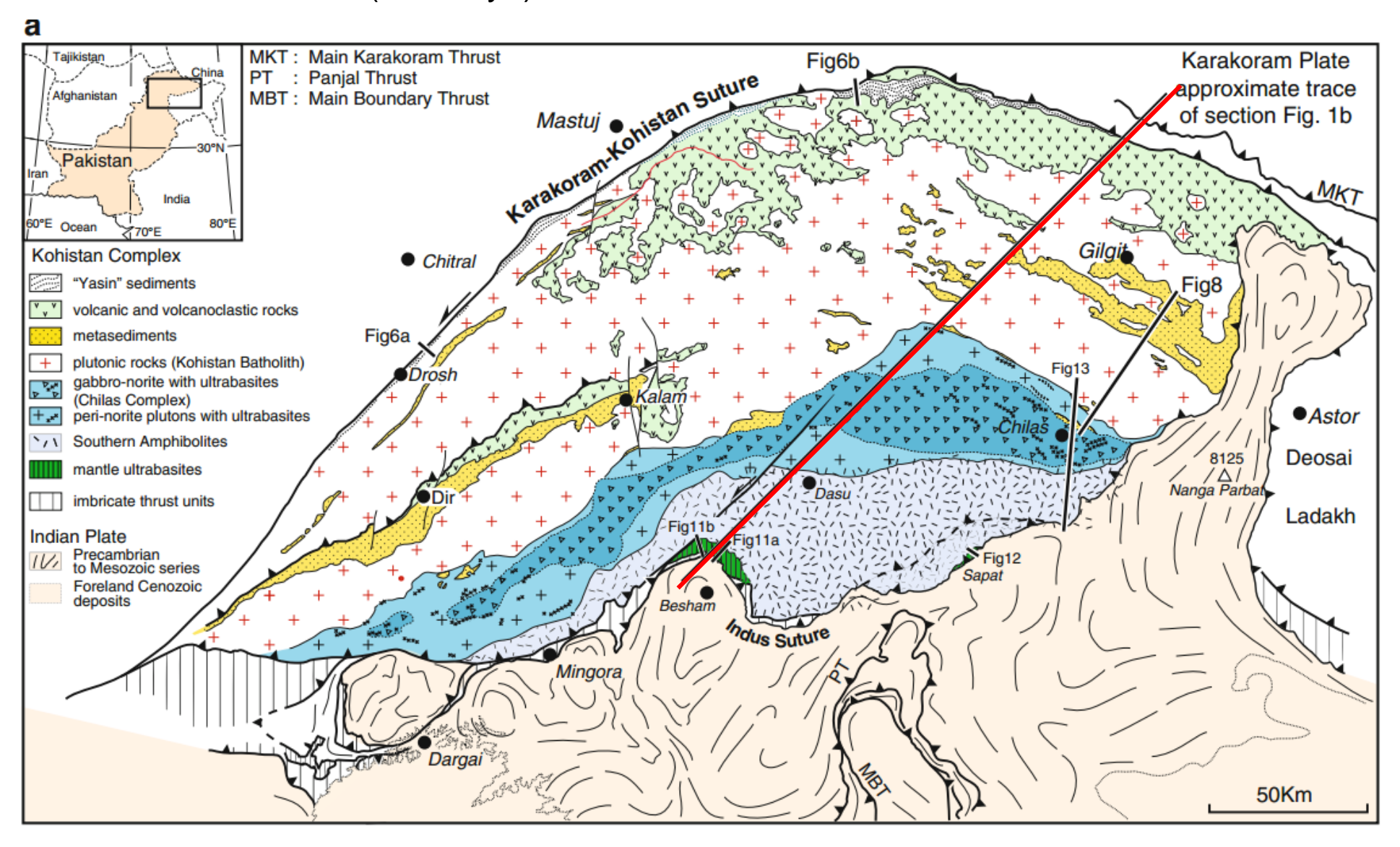


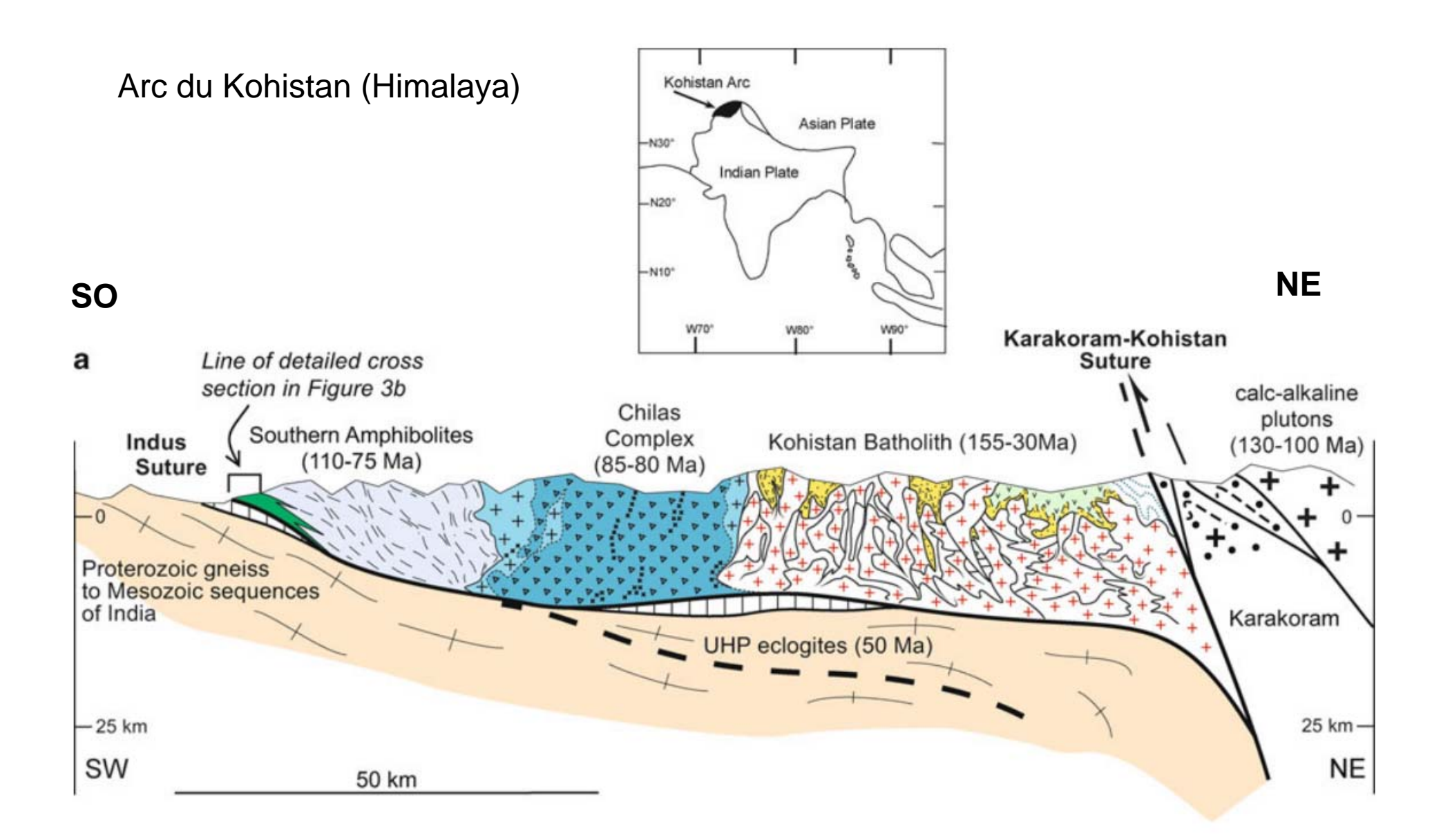
Figure 11.6. Coupe schématique interprétative de l'arc de la Sonde au niveau de Java central (sans exagération verticale sauf pour la représentation des volcans).

1 : prisme d'accrétion ; 2 : croûte de Java (complexe d'accrétion d'âge mésozoïque/ cénozoïque) ; 3 : croûte du domaine arrière-arc (craton de la Sonde) ; 4 : volcan de l'axe de l'arc ; 5 : volcan en position arrière-arc ; 6 : manteau métasomatisé surmontant le plan de Benioff ; 7 : manteau lithosphérique appauvri ; 8 : manteau lithosphérique enrichi du domaine arrière-arc ; 9 : manteau asthénosphérique. Les flèches F1 à F6 symbolisent les divers flux de matière (explications dans le texte).



Arc du Kohistan (Himalaya)





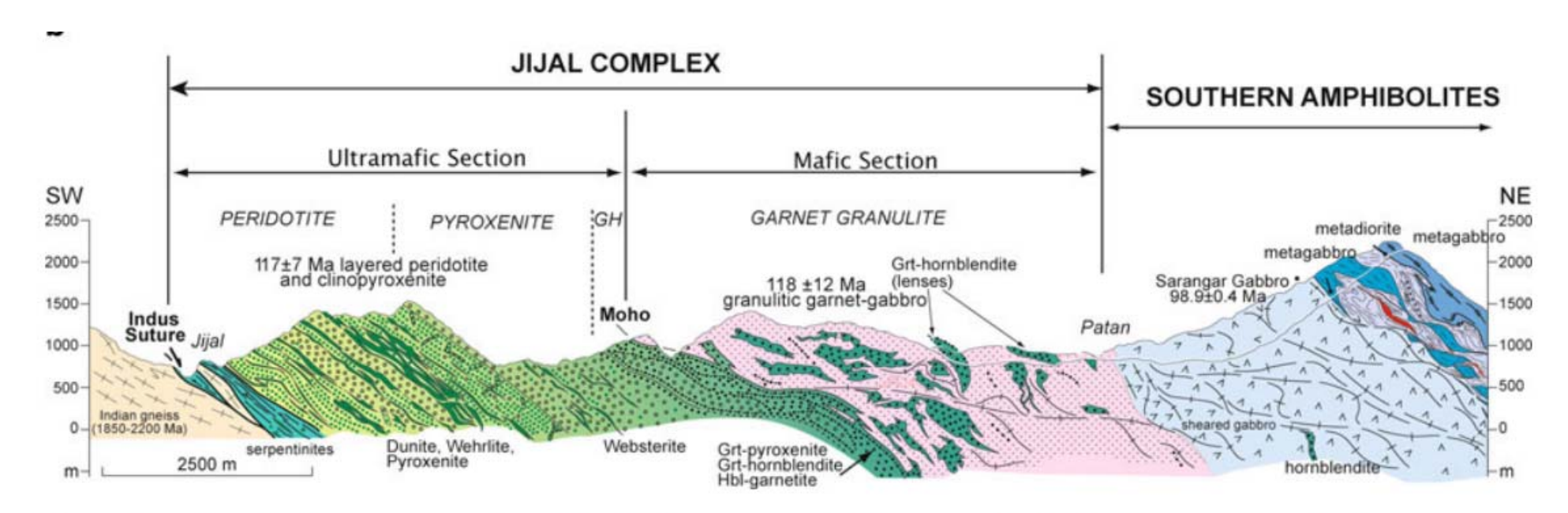
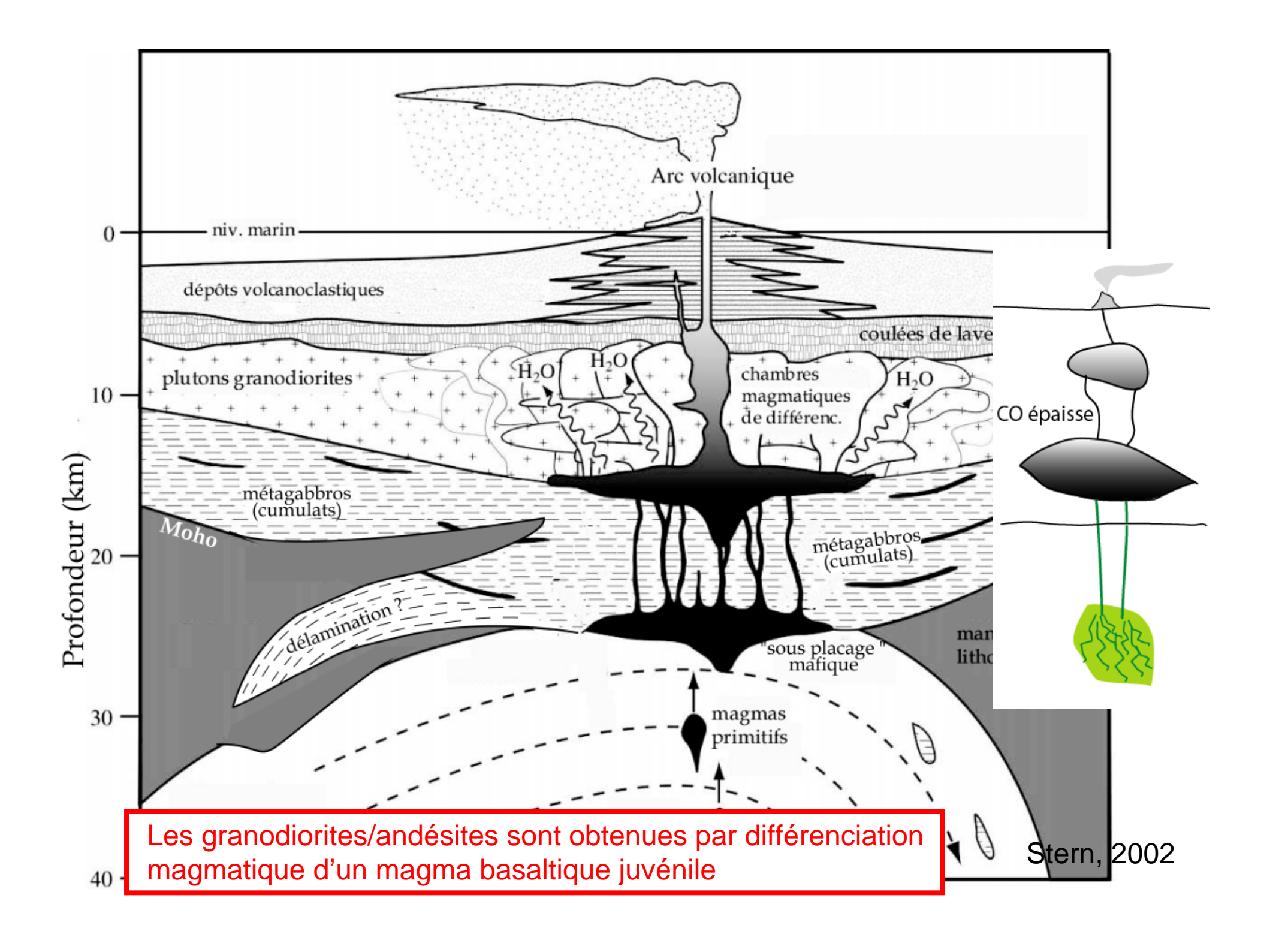
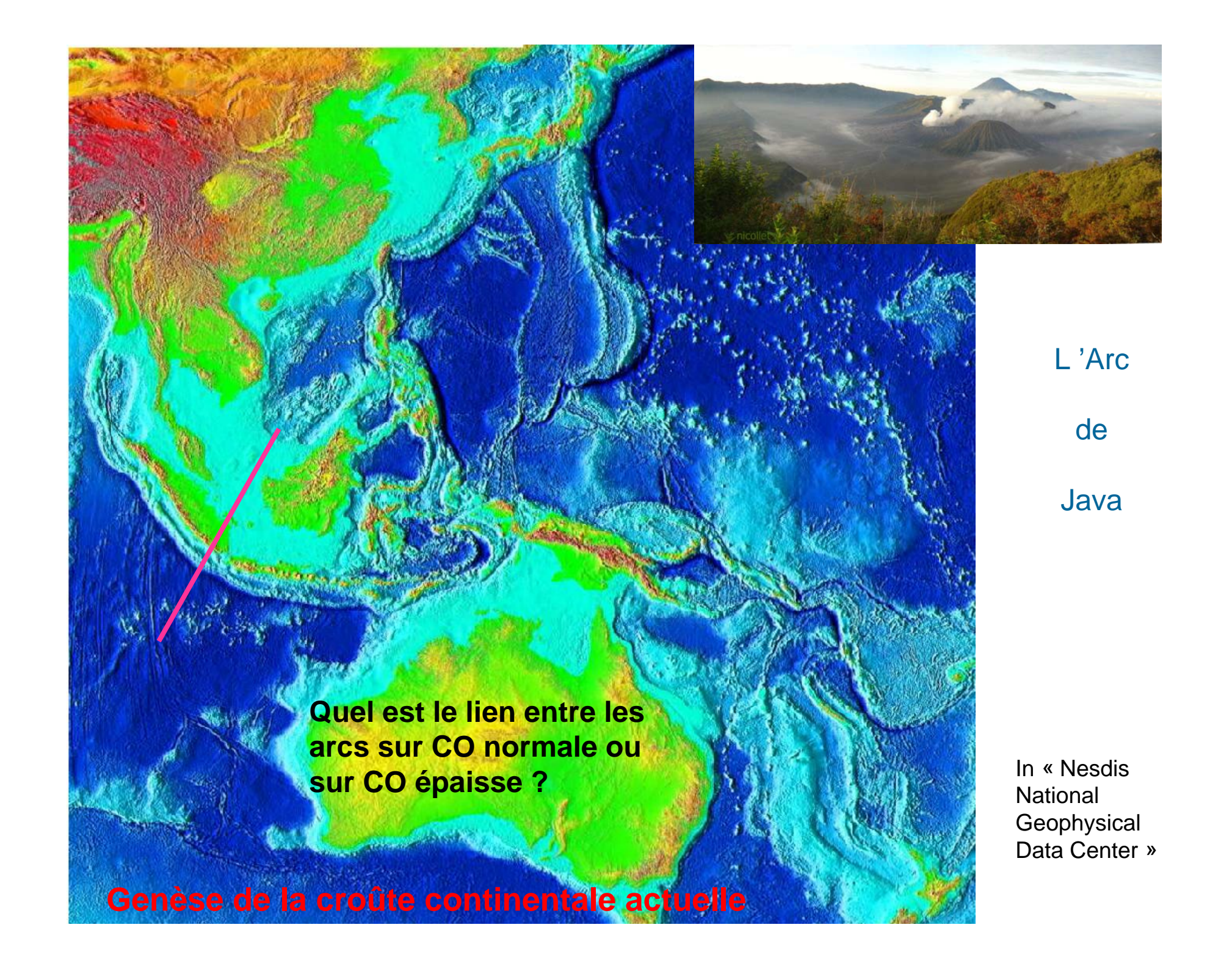
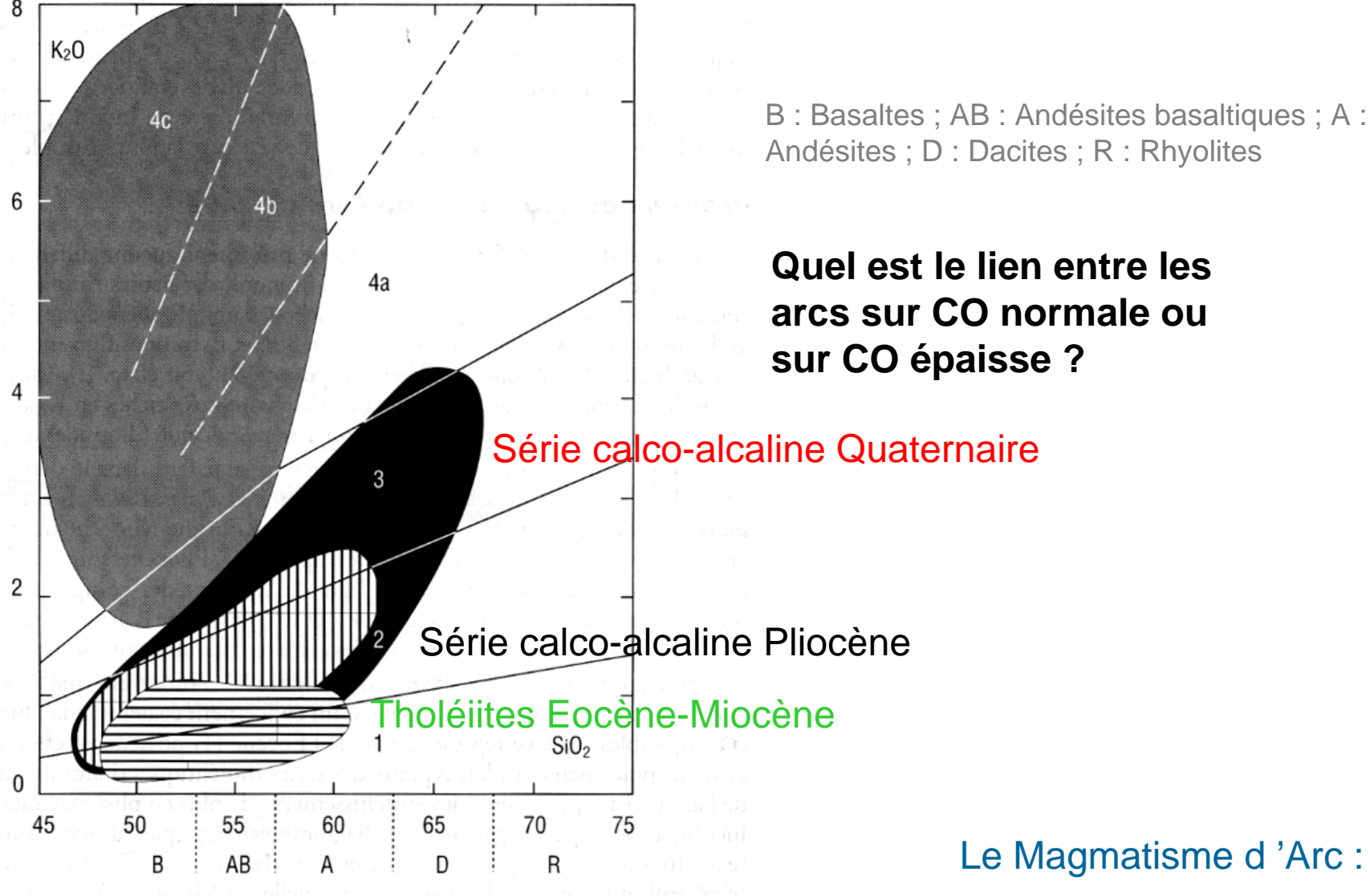


Fig. 5.3 (a) Simplified cross section through the Kohistan arc from Burg et al. (2006) and Burg (2011). The main units, the Southern Amphibolites, the Chilas Complex, and the Kohistan Batholith are described in the text. (b) Detail of the Moho section (south of the Southern Amphibolites) from Burg (2011)

and Dhuime et al. (2007). GH is garnet-hornblendite/ pyroxenite and hornblende-garnetite rocks. The inset map shows the location of the Kohistan arc along the suture between the Indian and Asian plates.







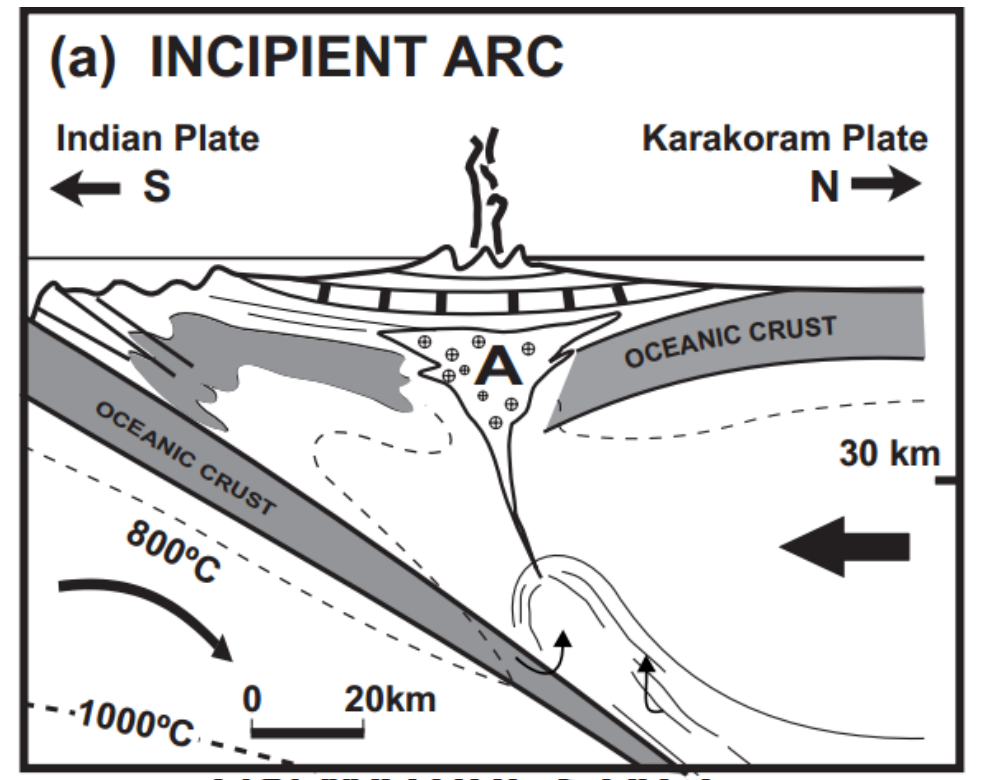
Composition chimique des laves de Java.

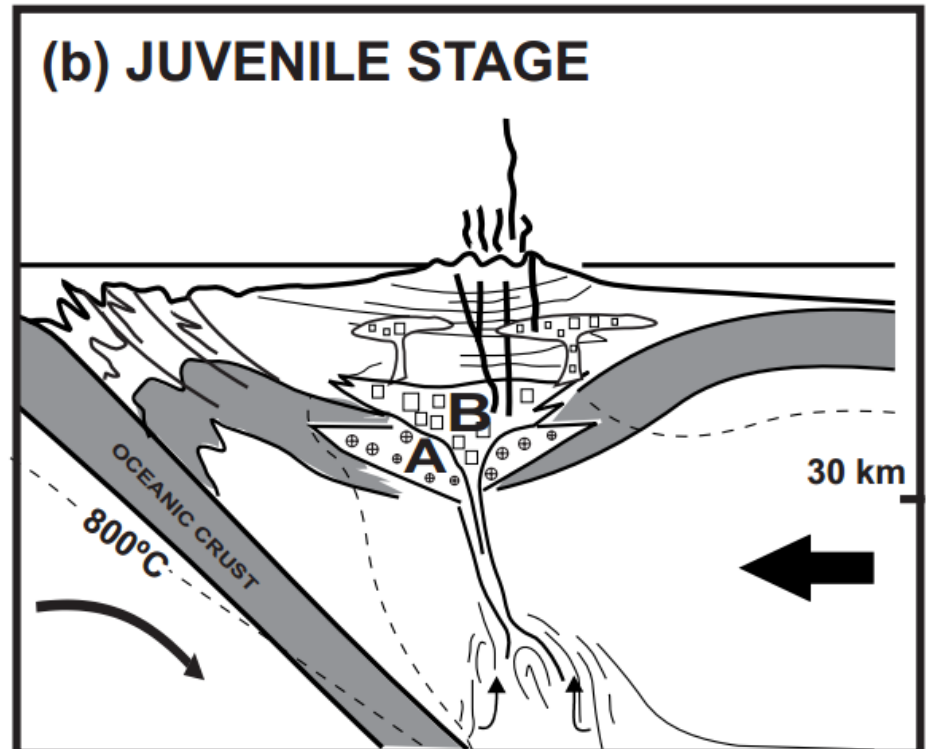
Dans le diagramme K₂O-SiO₂, les champs correspondent respectivement aux séries pauvres en potassium, souvent appelées tholéiltiques d'arc (1), aux séries calco-alcalines modérément potassiques (2), aux séries calco-alcalines potassiques (3), shoshonitiques (4a), alcalines potassiques (4b) et alcalines ultrapotassiques à leucite (4c). Hachures horizontales: laves d'âge Eocène-Miocène inférieur (42-15 Ma); hachures verticales: laves d'âge Miocène supérieur-Pliocène (15-2 Ma); en noir : laves quaternaires de l'axe de l'arc; en grisé : laves quaternaires riches en K du domaine arrière-arc. B : basaltes; AB: andésites basaltiques; A: andésites; D: dacites; R: rhyolites.

Le Magmatisme d'Arc:

L'Arc de Java

In Juteau et Maury « Géologie de la Croûte Océanique » - Dunod



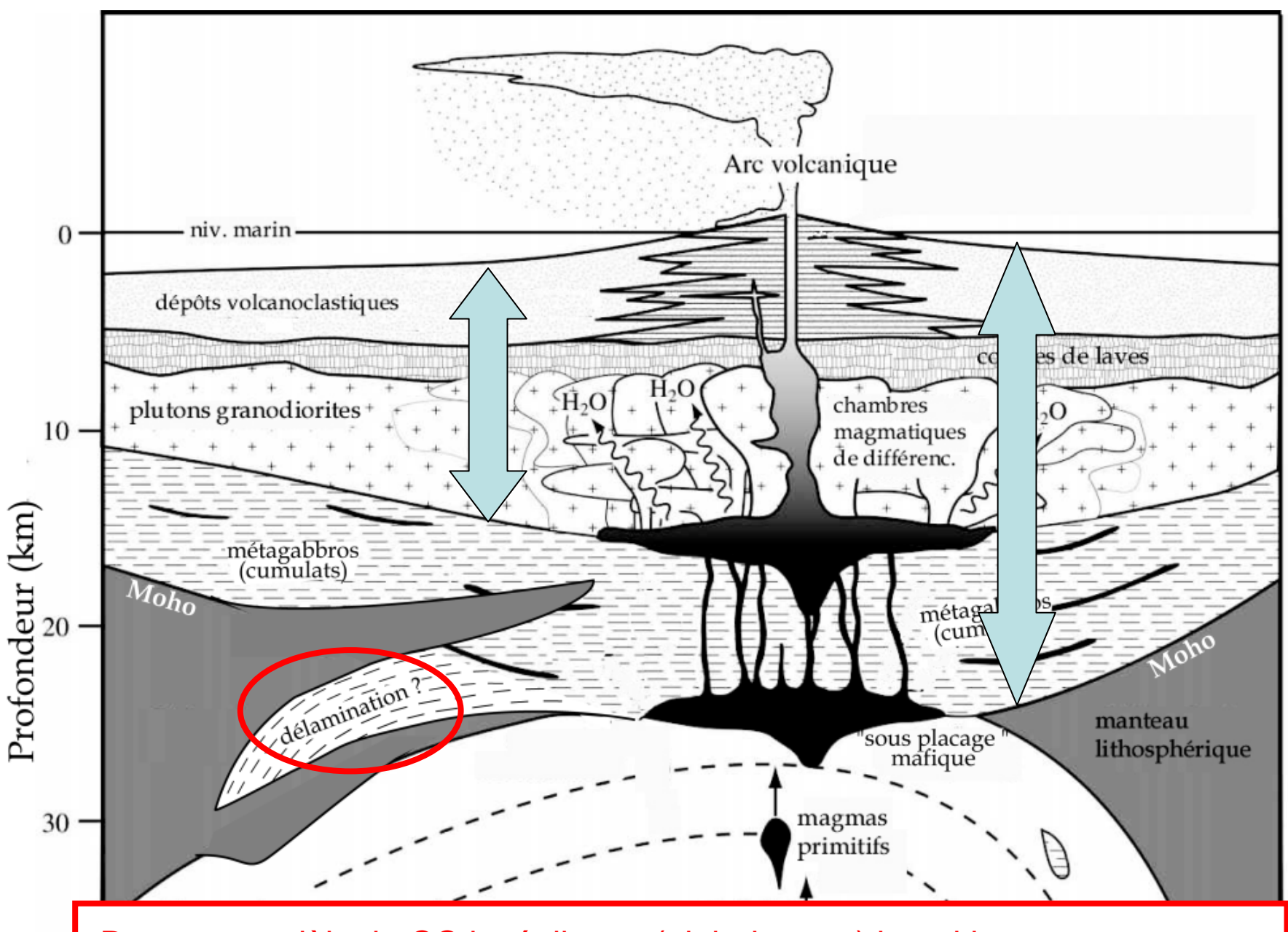


Intrusive Granites

October 100 Control of the cont

Arc crétacé du Kohistan (Pakistan)

GARRIDO et al, 2006

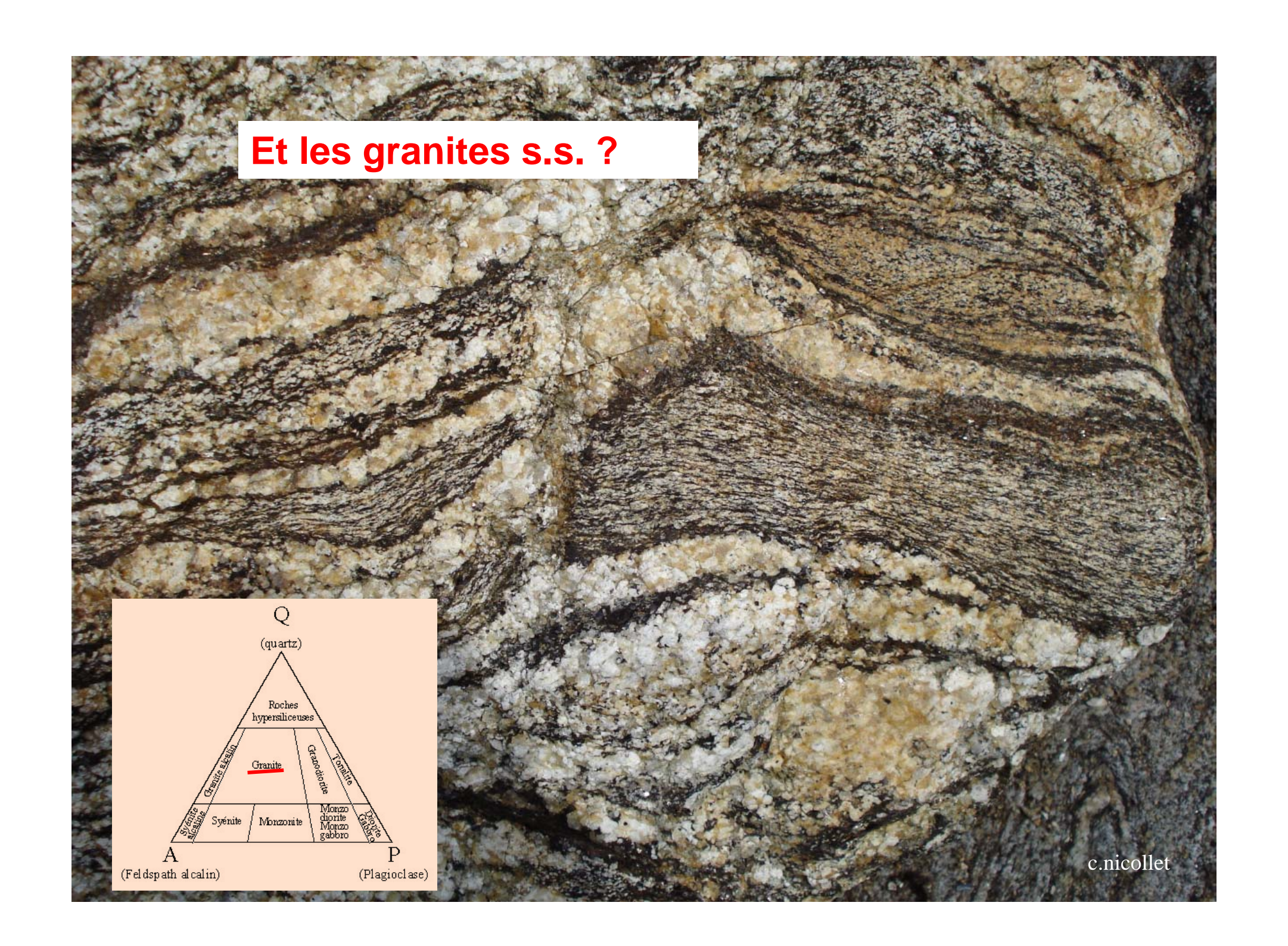


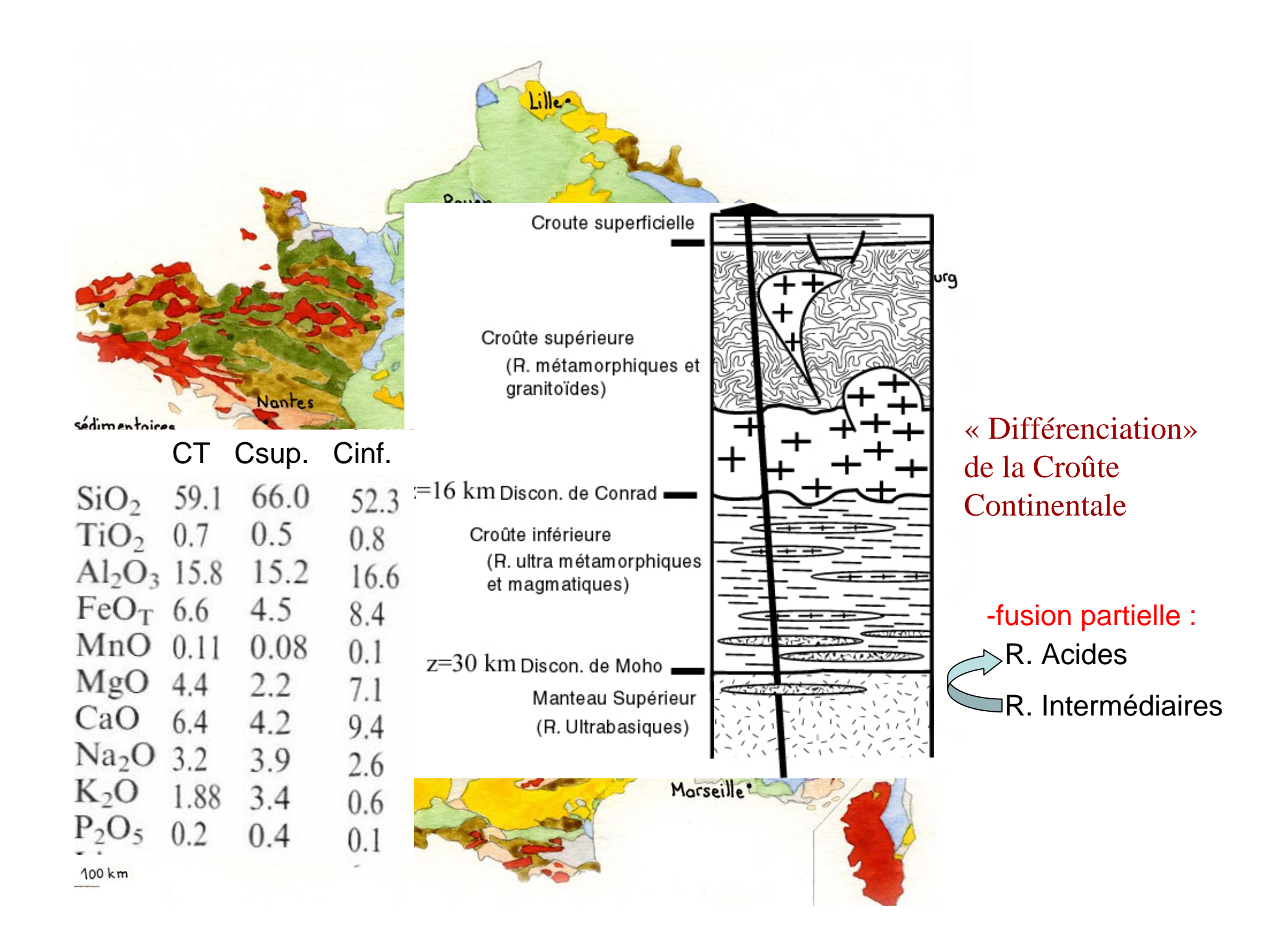
Dans ce modèle, la CC juvénile est (globalement) basaltique...

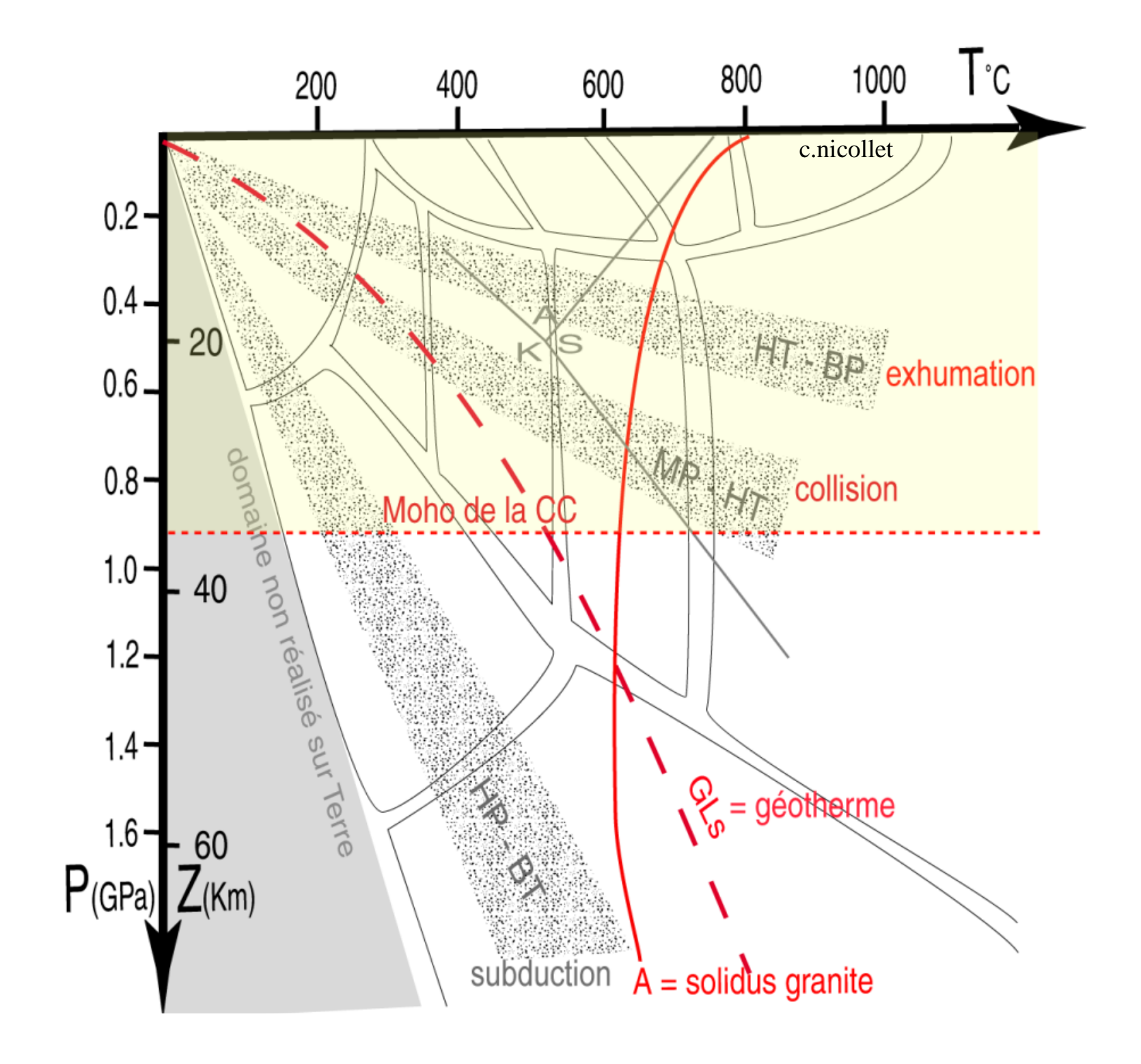
40

À moins qu'il n'y ait délamination de la croute inférieure « gabbroïque » ?

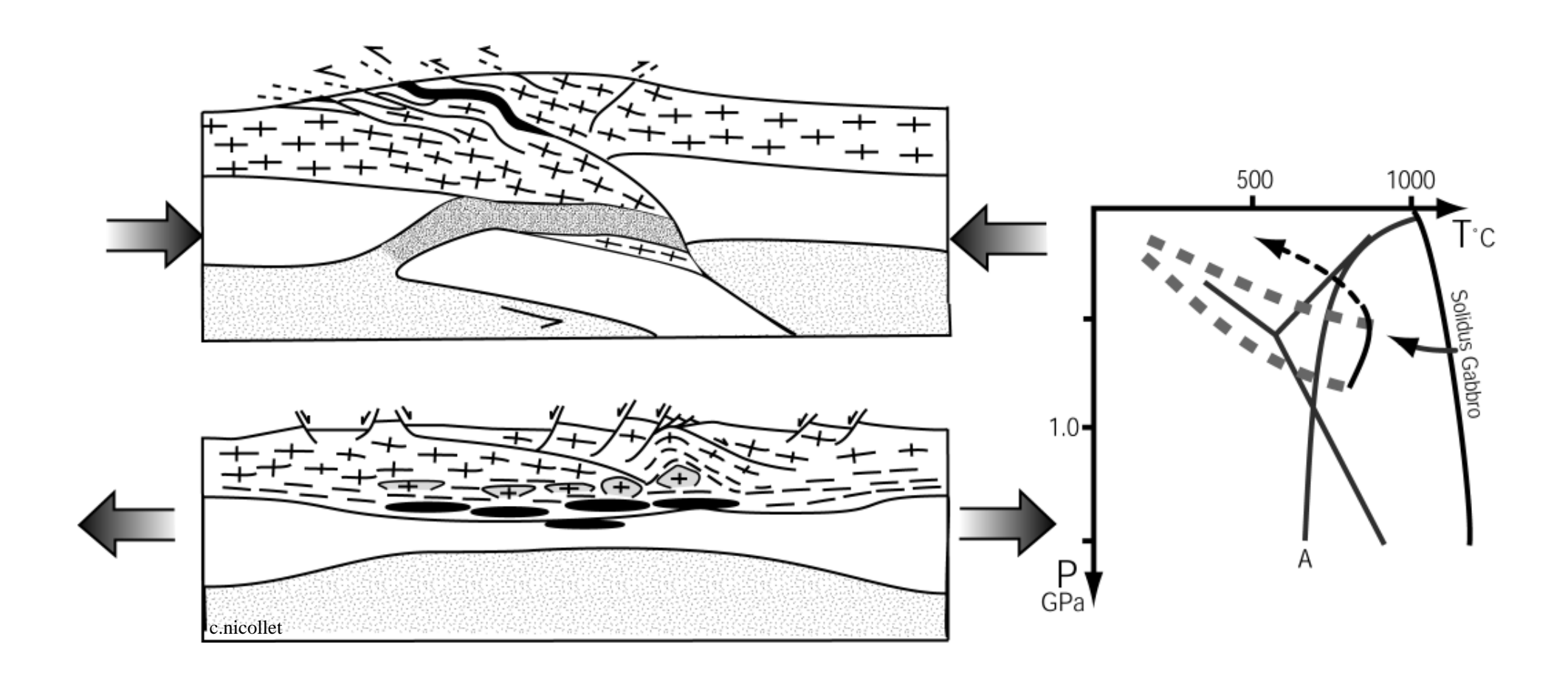
2002







Fin de vie d'un orogène et différenciation crustale



BIOLOGIE GEOLOGIE



Géologie

Origine et évolution de la croûte continentale édagogique trimestriel nº 2-2014

